

**Adopted Levels, Gammas**

Type	Author	History	Citation	Literature Cutoff Date
Full Evaluation	Yu. Khazov, A. Rodionov and G. Shulyak		NDS 136, 163 (2016)	14-Jul-2016

Q(β<sup>-</sup>)=-3879 6; S(n)=8416.3 29; S(p)=7018 4; Q(α)=2528.8 28 [2012Wa38](#)

Produced and identified by [1953Du21](#), irradiation of Nd target by 40 MeV <sup>4</sup>He.

The <sup>146</sup>Sm scheme is built on the basis of data on ε decay and in-beam reaction study. It contains more than 210 levels and about 500 γ transitions. Six E<sub>γ</sub> energies differ greater than 3σ from corresponding level energy differences, they were not taken in to account in a least-square fitting. Band sequences are from [1995Ba57](#).

<sup>146</sup>Sm Levels

Cross Reference (XREF) Flags

A	<sup>146</sup> Pm β <sup>-</sup> decay	F	<sup>144</sup> Sm(t,p)
B	<sup>146</sup> Eu ε decay	G	<sup>147</sup> Sm(d,t)
C	<sup>150</sup> Gd α decay	H	<sup>147</sup> Sm( <sup>3</sup> He,α)
D	<sup>139</sup> La( <sup>11</sup> B,4nγ)	I	<sup>148</sup> Sm(p,t)
E	Nd(α,xnγ)		

E(level) <sup>†‡</sup>	J <sup>π</sup>	T <sub>1/2</sub> <sup>#</sup>	XREF	Comments
0.0 <sup>@</sup>	0 <sup>+</sup>	6.8×10 <sup>7</sup> y 7	ABCDEFGHI	%α=100 T <sub>1/2</sub> : from <a href="#">2012Ki16</a> . Others: 5×10 <sup>7</sup> y ( <a href="#">1953Du21</a> ), 7.4×10 <sup>7</sup> y 15 ( <a href="#">1964Nu02</a> ), 10.26×10 <sup>7</sup> y 48 ( <a href="#">1966Fr11</a> ), 8.5×10 <sup>7</sup> y 12 ( <a href="#">1963Fr06</a> ), 10.31×10 <sup>7</sup> y 45 ( <a href="#">1987Me08</a> ). Observed α decay with E <sub>α</sub> =2455 4 ( <a href="#">1987Me08</a> ), 2460 20 ( <a href="#">1964Nu02</a> ), 2550 30 ( <a href="#">1966Fr11</a> ), 2550 50 ( <a href="#">1960Ma39</a> , <a href="#">1953Du21</a> ), retardation factor=0.34 ( <a href="#">1993Bu09</a> ). Isotope shift, mean square radii differences ( <a href="#">2013An02</a> (compilation nuclear radii of Z=0-96), <a href="#">1999GaZX</a> , <a href="#">1990En01</a> , <a href="#">1986Al33</a> ).
747.174 <sup>@</sup> 11	2 <sup>+</sup>	≤7.2 ps	AB DEFGHI	J <sup>π</sup> : 747.2γ E2 to 0 <sup>+</sup> ; assigned to level sequence built on g.s., 0 <sup>+</sup> .
1380.301 <sup>&amp;</sup> 15	3 <sup>-</sup>		AB Def h	XREF: f(1387), h(1376). J <sup>π</sup> : 633.1γ E1 to 2 <sup>+</sup> ; direct population in <sup>146</sup> Eu ε decay (J <sup>π</sup> =4 <sup>-</sup> ); bandhead of one octupole phonon coupled level sequence.
1381.287 <sup>@</sup> 14	4 <sup>+</sup>	≤9 ps	B DEfGhI	XREF: f(1387), h(1376). J <sup>π</sup> : 634.1γ E2 to 2 <sup>+</sup> ; direct population in <sup>146</sup> Eu ε decay (J <sup>π</sup> =4 <sup>-</sup> ); assigned to level sequence based on g.s.
1647.980 14	2 <sup>+</sup>		B EFGHI	J <sup>π</sup> : 1648.0γ E2 to 0 <sup>+</sup> , 791.1γ from 4 <sup>+</sup> .
1792 2			G	J <sup>π</sup> : from L(d,t)=3,5.
1811.674 <sup>@</sup> 18	6 <sup>+</sup>	0.09 ns +10-5	B DEFGHI	XREF: H(1820). J <sup>π</sup> : 430.4γ E2 to 4 <sup>+</sup> , 986.0γ E3 from 9 <sup>-</sup> ; assigned to the level sequence based on g.s.
1913 2			G	
2024 2			G	
2045.715 16	4 <sup>-</sup>		B E G	J <sup>π</sup> : 665.4γ M1+E2 (ΔJ=1) to 3 <sup>-</sup> ; direct population in <sup>146</sup> Eu ε decay (J <sup>π</sup> =4 <sup>-</sup> ).
2083.432 <sup>&amp;</sup> 15	5 <sup>-</sup>		B DEFGHI	J <sup>π</sup> : 271.7γ E1 to 6 <sup>+</sup> , 702.1γ E1 to 4 <sup>+</sup> .
2155.824 16	2 <sup>+</sup>		B EFGHI	J <sup>π</sup> : 2155.8γ E2 to 0 <sup>+</sup> , 1470.2γ from 4 <sup>+</sup> . L(d,t)=0 is incompatible with the J=2 <sup>+</sup> assignment.
2211 1	0 <sup>+</sup>		I	J <sup>π</sup> : from L(p,t)=0.
2222.438 <sup>c</sup> 24	6 <sup>+</sup>		B DE g I	XREF: g(2224). J <sup>π</sup> : 410.8γ M1+E2 (ΔJ=0) to 6 <sup>+</sup> , 820.7γ E2 from 8 <sup>+</sup> . Bandhead of level sequence with ΔJ=1.
2225.00 7	(2 <sup>+</sup> )		B Fg	XREF: F(2231).

Continued on next page (footnotes at end of table)

**Adopted Levels, Gammas (continued)**

<sup>146</sup>Sm Levels (continued)

E(level) <sup>†‡</sup>	J <sup>π</sup>	T <sub>1/2</sub> <sup>#</sup>	XREF	Comments
				XREF: g(2224). J <sup>π</sup> : 2225.0γ to 0 <sup>+</sup> , 844.7γ to 3 <sup>-</sup> ; log ft=9.8 in population in <sup>146</sup> Eu ε decay (J <sup>π</sup> =4 <sup>-</sup> ).
2269.885 16	3 <sup>+</sup>		B E GH	J <sup>π</sup> : 1522.7γ M1+E2 to 2 <sup>+</sup> , 888.4γ M1+E2 to 4 <sup>+</sup> .
2280.902 16	4 <sup>+</sup>		B EFG I	J <sup>π</sup> : 1533.7γ E2 to 2 <sup>+</sup> ; L(p,t)=4, (J <sup>π</sup> =4 <sup>-</sup> ).
2329 2			G	
2331 1	0 <sup>+</sup>		G I	J <sup>π</sup> : from L(p,t)=0.
2398.7 10			E	
2400.92 3	2 <sup>+</sup>		B E I	J <sup>π</sup> : 2400.9γ E2 to 0 <sup>+</sup> , L(p,t)=(2).
2401.6 3	3 <sup>-</sup> ,4 <sup>-</sup>		G	J <sup>π</sup> : from L(d,t)=0.
2439.071 19	4 <sup>+</sup>		B EFG I	J <sup>π</sup> : 791.1γ E2 to 2 <sup>+</sup> ; L(p,t)=(4).
2513.448 19	3 <sup>-</sup>		B E G I	J <sup>π</sup> : 1766.3γ E1 to 2 <sup>+</sup> , L(p,t)=(3), L(d,t)=0.
2531.934 15	4 <sup>+</sup>		B E GHI	J <sup>π</sup> : 1150.6γ M1+E2 to 4 <sup>+</sup> , 1784.8γ E2 to 2 <sup>+</sup> ; direct population in <sup>146</sup> Eu ε decay (J <sup>π</sup> =4 <sup>-</sup> ), L(p,t)=(4).
2544.18 5	2 <sup>+</sup>		B F I	J <sup>π</sup> : 2544.2γ E2 to 0 <sup>+</sup> ; L(p,t)=(2).
2551.97 18			B	
2589.26 15			E h	XREF: h(2593).
2600 1	0 <sup>+</sup>		F I	XREF: F(2611). J <sup>π</sup> : from L(p,t)=0 and L(t,p)=0.
2600.38& 3	7 <sup>-</sup>	11 ps 4	DE Gh	XREF: h(2593). J <sup>π</sup> : 788.8γ E1 (ΔJ=1, stretched) to 6 <sup>+</sup> , 516.9γ E2 to 5 <sup>-</sup> .
2605.11 6			B	
2636.03 7			B h	
2649.59 6	(2 <sup>+</sup> )		B EfGh	XREF: f(2653), h(2643). J <sup>π</sup> : 2650.4γ to 0 <sup>+</sup> , 210.5γ to 4 <sup>+</sup> .
2652 3			fGh	XREF: f(2653), h(2643).
2667.19 3	4 <sup>-</sup>		B E	J <sup>π</sup> : 621.4γ E0+M1+E2 to 4 <sup>-</sup> , 583.8γ M1 to 5 <sup>-</sup> .
2678.287 16	4 <sup>+</sup>		B Efg	XREF: f(2681), g(2682). J <sup>π</sup> : 1931.1γ E2 to 2 <sup>+</sup> , 1297.0γ E2+M1 to 4 <sup>+</sup> .
2684.714 24	(2 <sup>+</sup> )		B Efg	XREF: f(2681), g(2682). J <sup>π</sup> : 1303.5γ to 4 <sup>+</sup> , 1036.7γ to 2 <sup>+</sup> ; log f <sup>lu</sup> t=10.4 in <sup>146</sup> Eu ε decay population (J <sup>π</sup> =4 <sup>-</sup> ) (1964Ta11).
2737.16@ 8	8 <sup>+</sup>	11 ps 4	DEF H	J <sup>π</sup> : 136.9γ E1 to 7 <sup>-</sup> , 925.5γ E2 to 6 <sup>+</sup> ; assigned to level sequence.
2740.7 5			B	
2744.28 12	(4 <sup>+</sup> ,5,6 <sup>+</sup> )		E	J <sup>π</sup> : 463.4γ to 4 <sup>+</sup> , 521.9γ to 6 <sup>+</sup> .
2782.92 19	(4 <sup>+</sup> ,5 <sup>-</sup> )		Ef	XREF: f(2786). J <sup>π</sup> : 1402.9γ to 3 <sup>-</sup> , 971.3γ to 6 <sup>+</sup> .
2788.224 20	5 <sup>-</sup>		B EFGHI	XREF: f(2786). J <sup>π</sup> : from L(p,t)=5.
2797.67& 6	9 <sup>-</sup>	0.83 ns +20-13	DE	J <sup>π</sup> : 60.7γ E1 to 8 <sup>+</sup> , 197.4γ E2 to 7 <sup>-</sup> ; assigned to one octupole phonon coupled state sequence. T <sub>1/2</sub> : Others: from (α,xnγ): 1.0 ns 5 (γγ(t) in (α,2nγ) (1980Ko07)), 1.1 ns 5 (αγ delay coin. in (α,4nγ) (1978Ki11)).
2799.89 4	3 <sup>+</sup>		B Ef I	XREF: F(2808). J <sup>π</sup> : 2052.7γ M1+E2 to 2 <sup>+</sup> , 715.1γ to 5 <sup>-</sup> .
2824 1	2 <sup>+</sup>		f I	XREF: f(2808). J <sup>π</sup> : from L(p,t)=2.
2826.3 7	6 <sup>-</sup>		E	J <sup>π</sup> : 1014.6γ E1 (ΔJ=0) to 6 <sup>+</sup> .
2829 3	3 <sup>-</sup> ,4 <sup>-</sup>		G	J <sup>π</sup> : from L(d,t)=0.
2829.24 16	(2 <sup>+</sup> )		B	J <sup>π</sup> : 1448.1γ to 4 <sup>+</sup> , 2081.7γ to 2 <sup>+</sup> ; no population in <sup>146</sup> Eu ε decay (J <sup>π</sup> =4 <sup>-</sup> ).
2850.317 23	4 <sup>+</sup>		B EFg I	XREF: g(2856). J <sup>π</sup> : 2103.2γ E2 to 2 <sup>+</sup> ; L(p,t)=(4).
2859 1	2 <sup>+</sup>		g I	XREF: g(2856). J <sup>π</sup> : from L(p,t)=2.

Continued on next page (footnotes at end of table)

Adopted Levels, Gammas (continued) $^{146}\text{Sm}$  Levels (continued)

E(level) <sup>†‡</sup>	J <sup>π</sup>	XREF	Comments
2879.11 7		B	
2898.309 22	5 <sup>+</sup>	B E G	J <sup>π</sup> : 1517.0γ M1+E2 to 4 <sup>+</sup> , 1086.6γ M1 to 6 <sup>+</sup> .
2905.97 8	(4 <sup>+</sup> )	B G	J <sup>π</sup> : 2158.9γ to 2 <sup>+</sup> , 1094.1γ to 6 <sup>+</sup> .
2921 1	0 <sup>+</sup>	I	J <sup>π</sup> : from L(p,t)=0.
2932.33 6	(4 <sup>+</sup> )	B EFG I	J <sup>π</sup> : 1552.0γ to 3 <sup>-</sup> , 1120.8γ to 6 <sup>+</sup> ; 848.7γ from 2 <sup>+</sup> .
2968.83 4	2 <sup>+</sup> ,3 <sup>+</sup>	B E I	J <sup>π</sup> : 2221.6γ M1 to 2 <sup>+</sup> , 1587.5γ to 4 <sup>+</sup> ; L(p,t)=(4) is incompatible with the (J <sup>π</sup> =4 <sup>-</sup> ) assignment.
2973.34 3	3 <sup>+</sup> ,4 <sup>+</sup>	B Ef i	XREF: f(2979),i(2976).
2974.39 15	3 <sup>-</sup>	B G i	J <sup>π</sup> : 1592.0γ (M1+E2) to 4 <sup>+</sup> , 1325.4γ to 2 <sup>+</sup> . XREF: i(2976).
2978.0 10		Ef	J <sup>π</sup> : 2227.2γ to 2 <sup>+</sup> , 891.3 γ to 5 <sup>-</sup> ; L(d,t)=0. XREF: f(2979).
2984.5 3		Ef	XREF: f(2979).
2991 2	(4 <sup>+</sup> )	FG I	J <sup>π</sup> : from L(p,t)=(4).
3011.24 11		E	
3014.624 22	3 <sup>+</sup>	B E g	XREF: g(3017).
3019.54 21		E g	J <sup>π</sup> : 2267.5γ M1 to 2 <sup>+</sup> , 1633.3γ M1 to 4 <sup>+</sup> . XREF: g(3017).
3020.6 11	0 <sup>+</sup>	B F I	J <sup>π</sup> : from L(p,t)=0.
3039.5 10		B	
3043.13 <sup>c</sup> 4	8 <sup>+</sup>	DE	J <sup>π</sup> : 1231.4γ E2 to 6 <sup>+</sup> , 731.6γ from 10 <sup>+</sup> , 524.3γ M1 from 9 <sup>+</sup> ; assigned to the level sequence.
3058.09 6		B F	
3067.703 20	3 <sup>+</sup>	B EFG I	XREF: g(3069).
3072.933 22	5 <sup>+</sup>	B EFG	J <sup>π</sup> : 1686.4γ M1+E2 to 4 <sup>+</sup> , 2320.5γ M1+E2 to 2 <sup>+</sup> ; L(d,t)=1. XREF: g(3069).
3092.39 11	(4 <sup>+</sup> ,5,6 <sup>+</sup> )	E I	J <sup>π</sup> : 222.1γ M1 to 4 <sup>+</sup> , 850.5 γ M1 to 6 <sup>+</sup> ; L(d,t)=1.
3093.122 17	3 <sup>+</sup>	B E	J <sup>π</sup> : 811.4γ to 4 <sup>+</sup> , 1280.8γ to 6 <sup>+</sup> .
3099.49 8	7 <sup>-</sup>	E	J <sup>π</sup> : 2345.9γ M1+E2 to 2 <sup>+</sup> , 1711.8γ M1+E2 to 4 <sup>+</sup> .
3105.38 5	(2 <sup>+</sup> ,3,4 <sup>+</sup> )	B G I	J <sup>π</sup> : 1288.1γ E1+(M2) to 6 <sup>+</sup> , 362.3γ to 8 <sup>+</sup> .
3123.29 22	(2 <sup>+</sup> ,3,4 <sup>+</sup> )	B	J <sup>π</sup> : 2358.2γ to 2 <sup>+</sup> , 1724.1γ to 4 <sup>+</sup> .
3126 1	0 <sup>+</sup>	I	J <sup>π</sup> : 1475.3γ to 2 <sup>+</sup> , 445.0γ to 4 <sup>+</sup> .
3129.8 3		B f	J <sup>π</sup> : from L(p,t)=0. XREF: f(3140).
3136.38 3	3 <sup>-</sup>	B EfG I	XREF: f(3140).
3151.44 3		B f	J <sup>π</sup> : 2389γ E1+M2 to 2 <sup>+</sup> , 1090.8γ M1 to 4 <sup>-</sup> ; L(p,t)=(3). XREF: f(3140).
3166.91 5	8 <sup>-</sup>	DE	J <sup>π</sup> : 566.6γ M1 (ΔJ=1, stretched) to 7 <sup>-</sup> , 369.6γ to 9 <sup>-</sup> .
3176 1	2 <sup>+</sup>	f h	XREF: f(3187), h(3180). J <sup>π</sup> : from L(p,t)=2.
3183.28 8	8 <sup>-</sup>	E	J <sup>π</sup> : 385.6γ M1 9 <sup>-</sup> , 582.9γ D+Q (ΔJ=1) to 7 <sup>-</sup> .
3183.928 19	3 <sup>+</sup>	B Efgh	XREF: f(3187), g(3188), h(3180). J <sup>π</sup> : 2436.7γ M1+E2 to 2 <sup>+</sup> , 1802.8γ M1+E2 to 4 <sup>+</sup> .
3185.67 9		Efg	XREF: g(3188), f(3187).
3198.84 21		Ef	XREF: f(3187).
3200.019 18	4 <sup>-</sup>	B E	J <sup>π</sup> : 1116.6γ M1+E2 to 5 <sup>-</sup> , 930.4γ to 3 <sup>+</sup> , 686.5γ to 3 <sup>-</sup> .
3205 1	2 <sup>+</sup>	I	J <sup>π</sup> : from L(p,t)=2.
3208.31 4	(8 <sup>+</sup> )	E	J <sup>π</sup> : 985.9γ (E2, stretched) to 6 <sup>+</sup> .
3220.87 5	(3 <sup>-</sup> ,4,5 <sup>-</sup> )	B E	J <sup>π</sup> : 1840.5γ to 3 <sup>-</sup> , 1137.7γ to 5 <sup>-</sup> .
3223.9 15	(2 <sup>+</sup> ,3 <sup>+</sup> ,4 <sup>+</sup> )	B G	J <sup>π</sup> : 394.7γ to (2 <sup>+</sup> ); log ft=8.98 in $^{146}\text{Eu}$ ε decay (J <sup>π</sup> =4 <sup>-</sup> ) population. L(d,t)=(5).
3231.63 6	4 <sup>+</sup>	B f i	XREF: f(3240), i(3236). J <sup>π</sup> : 2484.4γ to 2 <sup>+</sup> , 1009.3γ to 6 <sup>+</sup> ; L(p,t)=(4).
3238.646 22	4 <sup>+</sup>	B Ef i	XREF: f(3240), i(3236).
3244.65 4	(2 <sup>+</sup> ,3,4 <sup>+</sup> )	B fG	J <sup>π</sup> : 2491.5γ E2 to 2 <sup>+</sup> , 1427.6γ to 6 <sup>+</sup> ; L(p,t)=(4). XREF: f(3240). J <sup>π</sup> : 2497.5γ to 2 <sup>+</sup> , 1863.3γ to 4 <sup>+</sup> .

Continued on next page (footnotes at end of table)

**Adopted Levels, Gammas (continued)** $^{146}\text{Sm}$  Levels (continued)

E(level) <sup>†‡</sup>	J <sup>π</sup>	T <sub>1/2</sub> <sup>#</sup>	XREF	Comments
3259.934 18	5 <sup>-</sup>		B E f I	XREF: f(3264). J <sup>π</sup> : 1214.2γ M1+E2 to 4 <sup>-</sup> , 1448.2γ to 6 <sup>+</sup> .
3268 2			f G I	XREF: f(3264).
3278.14 21			E	
3278.18 13	2 <sup>+</sup>		B F I	XREF: F(3264). J <sup>π</sup> : from L(p,t)=2.
3288.60 17	(2 <sup>+</sup> ,3,4 <sup>+</sup> )		B	J <sup>π</sup> : 459.4γ to 2 <sup>+</sup> , log ft=8.62 in $^{146}\text{Eu}$ ε decay (J <sup>π</sup> =4 <sup>-</sup> ) population.
3290.7 3	8 <sup>+</sup>		E	J <sup>π</sup> : 1479.0γ E2(+M3) to 6 <sup>+</sup> , 492.7γ to 9 <sup>-</sup> .
3308 1	2 <sup>+</sup>		I	J <sup>π</sup> : from L(p,t)=2.
3327.0 4			E	
3329.90 5	(2 <sup>+</sup> ,3,4 <sup>+</sup> )		B	J <sup>π</sup> : 1681.9γ to 2 <sup>+</sup> , 1948.7γ to 4 <sup>+</sup> .
3338.27 4	3 <sup>+</sup>		B G	J <sup>π</sup> : 2591.1γ M1+(E2) to 2 <sup>+</sup> , 550.4γ to 5 <sup>-</sup> .
3340.26 8	(5 <sup>-</sup> ,6 <sup>-</sup> )		E	J <sup>π</sup> : 672.9γ to 4 <sup>-</sup> , 739.9γ to 7 <sup>-</sup> .
3354.64 <sup>b</sup> 6	9 <sup>-</sup>	28 ps +5-4	DE	J <sup>π</sup> : 754.2γ E2 to 7 <sup>-</sup> , 556.9γ M1 (ΔJ=0) to 9 <sup>-</sup> ; systematics of N=84 isotones (1978Ki11). Bandhead of level sequence with ΔJ=1.
3361.08 3	3 <sup>-</sup> ,4 <sup>-</sup>		B E G	XREF: G(3367). J <sup>π</sup> : 1980.8γ M1 to 3 <sup>-</sup> , 1277.6γ to 5 <sup>-</sup> ; L(d,t)=0.
3368.76 8	(4 <sup>+</sup> )		B hI	XREF: h(3375). J <sup>π</sup> : 2621.6γ to 2 <sup>+</sup> ; L(p,t)=(4).
3376.78 4	4 <sup>+</sup>		B h	XREF: h(3375). J <sup>π</sup> : 2629.5γ E2 to 2 <sup>+</sup> , 1995.8 M1+E2 to 4 <sup>+</sup> ; L(p,t)=(4).
3377.14 15			E h	XREF: h(3375).
3378.45 5	(3 <sup>-</sup> ,4,5 <sup>-</sup> )		B E h	XREF: h(3375). J <sup>π</sup> : 1332.7γ D+Q to 4 <sup>-</sup> , 1998.0γ to 3 <sup>-</sup> , 1294.3γ to 5 <sup>-</sup> .
3388 1			I	J <sup>π</sup> : from L(p,t)=(3).
3391.1 5			E	
3391.678 22	3 <sup>-</sup>		B G I	J <sup>π</sup> : 2644.4γ E1 to 2 <sup>+</sup> ; L(p,t)=(3), L(d,t)=0.
3397.62 9	(4 <sup>+</sup> )		B	J <sup>π</sup> : 1175.0γ to 6 <sup>+</sup> , 2650.4γ to 2 <sup>+</sup> .
3412.7 7	(4 <sup>+</sup> ,5,6 <sup>-</sup> )		E	J <sup>π</sup> : 1190.2γ to 6 <sup>+</sup> , 1367.1γ to 4 <sup>-</sup> .
3418.98 4	3 <sup>+</sup>		B E h	XREF: h(3425). J <sup>π</sup> : 2671.7γ M1+E2 to 2 <sup>+</sup> ; log ft=8.3 in direct population in $^{146}\text{Eu}$ ε decay (J <sup>π</sup> =4 <sup>-</sup> ).
3427.77 7			B Gh	XREF: G(3425). XREF: h(3425).
3431.28 4	3 <sup>-</sup> ,4 <sup>-</sup>		B Gh	XREF: G(3438). XREF: h(3425). J <sup>π</sup> : 2051.0γ to 3 <sup>-</sup> , 1347.8γ to 5 <sup>-</sup> ; L(d,t)=0.
3461.572 20	5 <sup>-</sup>		B E	J <sup>π</sup> : 1415.9γ M1+E2 to 4 <sup>-</sup> , 2081.1γ E2 to 3 <sup>-</sup> , 2080.1γ E1 to 4 <sup>+</sup> .
3465.84 4			B	
3471.90 5	(2 <sup>+</sup> ),3 <sup>+</sup>		B g	XREF: g(3473). J <sup>π</sup> : 2724.7γ M1 to 2 <sup>+</sup> , 1191.0γ to 4 <sup>+</sup> .
3475.09 6	5 <sup>+</sup> ,(6 <sup>+</sup> )		B E	J <sup>π</sup> : 1663.4γ M1+(E2) to 6 <sup>+</sup> , 624.7γ to 4 <sup>+</sup> ; log ft=8.45 in $^{146}\text{Eu}$ ε decay (J <sup>π</sup> =4 <sup>-</sup> ) population.
3476.95 15	(2 <sup>+</sup> ,3,4,5 <sup>-</sup> )		B g	XREF: g(3473). J <sup>π</sup> : 2096.6γ to 3 <sup>-</sup> , 2095.6γ to 4 <sup>+</sup> ; log ft=8.95 in $^{146}\text{Eu}$ ε decay (J <sup>π</sup> =4 <sup>-</sup> ) population.
3484.3 3	(4 <sup>+</sup> ,5,6 <sup>-</sup> )		E h	XREF: h(3493). J <sup>π</sup> : 818.3γ to 4 <sup>-</sup> , 1672.5γ to 6 <sup>+</sup> .
3489 1			hI	XREF: h(3493).
3496 4			Gh	XREF: h(3493). J <sup>π</sup> : L(d,t)=2.
3509.34 6	(3 <sup>+</sup> )		B h	XREF: h(3493). J <sup>π</sup> : 2762.0 (M1+E2) γ to 2 <sup>+</sup> , 721.2γ to 5 <sup>-</sup> requires mult=M2 or E3.
3517.37 3	3 <sup>+</sup>		B E	J <sup>π</sup> : 2770.1γ M1+E2 to 2 <sup>+</sup> , 1471.6γ to 4 <sup>-</sup> , 1078.3γ to 4 <sup>+</sup> .
3526 4	3 <sup>-</sup> ,4 <sup>-</sup>		G	J <sup>π</sup> : from L(d,t)=0.
3530.59 5	4 <sup>+</sup>		B	J <sup>π</sup> : 1484.7γ E1 to 4 <sup>-</sup> , 1447.1 γ to 5 <sup>-</sup> , 845.8γ to (2 <sup>+</sup> ).

Continued on next page (footnotes at end of table)

**Adopted Levels, Gammas (continued)**

				<u><sup>146</sup>Sm Levels (continued)</u>	
E(level) <sup>†‡</sup>	J <sup>π</sup>	T <sub>1/2</sub> <sup>#</sup>	XREF	Comments	
3546.17 4	2 <sup>+</sup> ,3 <sup>+</sup>		B G	XREF: G(3551). J <sup>π</sup> : 2799.0γ M1+E2 to 2 <sup>+</sup> , 2164.9γ to 4 <sup>+</sup> ; log ft=8.4 in <sup>146</sup> Eu ε decay (J <sup>π</sup> =4 <sup>-</sup> ) population.	
3560.28 21			E		
3565.4 4			E		
3567.47 <sup>C</sup> 5	9 <sup>+</sup>		DE	J <sup>π</sup> : 524.3γ M1 (ΔJ=1) to 8 <sup>+</sup> ; assigned to the level sequence based on g.s.	
3568.4 10			E		
3580.2 3	(4 <sup>+</sup> )		E hI	XREF: I(3582). XREF: h(3585). J <sup>π</sup> : from L(p,t)=(4).	
3583.85 3	4 <sup>-</sup>		B E GhI	XREF: G(3588). XREF: h(3585). J <sup>π</sup> : 1500.4γ M1+E2 to 5 <sup>-</sup> , 2203.7γ M1+E2 to 3 <sup>-</sup> ; L(d,t)=0.	
3591.74 6	(4 <sup>+</sup> )		B hI	XREF: h(3585). J <sup>π</sup> : 2845.0γ to 2 <sup>+</sup> , 2210.4 γ to 4 <sup>+</sup> ; log ft=8.45 in <sup>146</sup> Eu ε decay (J <sup>π</sup> =4 <sup>-</sup> ) population; L(p,t)=(4).	
3593.2 10			E h	XREF: h(3585).	
3594.89 20			E h	XREF: h(3585).	
3605.83 7	3 <sup>-</sup>		B G I	XREF: G(3603)I(3608). J <sup>π</sup> : 2858.2γ to 2 <sup>+</sup> ; L(d,t)=0, L(p,t)=(2,3).	
3618 3	0 <sup>+</sup>		G I	XREF: G(3615). J <sup>π</sup> : from L(p,t)=0.	
3620.0 3			E g	XREF: g(3615).	
3626.046 16	4 <sup>+</sup>		B E	J <sup>π</sup> : 1356.1γ M1+E2 to 3 <sup>+</sup> , 2244.7γ M1+E2 to 4 <sup>+</sup> , 1542.6γ to 5 <sup>-</sup> .	
3633.5 10			E G	XREF: G(3639).	
3646.99 4	(2 <sup>+</sup> ,3,4 <sup>+</sup> )		B	J <sup>π</sup> : 1491.2γ to 2 <sup>+</sup> ; direct population in <sup>146</sup> Eu ε decay (J <sup>π</sup> =4 <sup>-</sup> ).	
3652.22 5	(3 <sup>-</sup> ),4 <sup>+</sup>		B	J <sup>π</sup> : 2904.9γ E2 to 2 <sup>+</sup> , 1568.9γ to 5 <sup>-</sup> .	
3654.19 7	(2 <sup>+</sup> ,3,4 <sup>+</sup> )		B	J <sup>π</sup> : 2907.0γ to 2 <sup>+</sup> , 1373.3γ to 4 <sup>+</sup> ; direct population in <sup>146</sup> Eu ε decay (J <sup>π</sup> =4 <sup>-</sup> ).	
3669.78 21			E		
3677 4			G		
3685.3 10			E		
3686 3	0 <sup>+</sup>		I	J <sup>π</sup> : from L(p,t)=0.	
3693.44 9	(2 <sup>+</sup> ,3,4 <sup>+</sup> )		B I	J <sup>π</sup> : 2946.1γ to 2 <sup>+</sup> , 1161.8γ 4 <sup>+</sup> ; direct population in <sup>146</sup> Eu ε decay (J <sup>π</sup> =4 <sup>-</sup> ).	
3701.09 12	(7 <sup>-</sup> ,8,9)		E	J <sup>π</sup> : 346.5γ to 9 <sup>-</sup> , 534.0γ to 8 <sup>-</sup> , 657.9γ to 8 <sup>+</sup> .	
3715.62 18			B		
3720.53 13	3 <sup>-</sup>		B G	J <sup>π</sup> : from L(d,t)=0; 2973.3γ to 2 <sup>+</sup> .	
3740.78 7	(3,4 <sup>+</sup> )		B	J <sup>π</sup> : 2993.6γ to 2 <sup>+</sup> , 2360.5γ to 3 <sup>-</sup> ; log ft=7.7 in <sup>146</sup> Eu ε decay (J <sup>π</sup> =4 <sup>-</sup> ) population.	
3749.43 11	(3 <sup>-</sup> ,4 <sup>+</sup> )		B	J <sup>π</sup> : 3002.2γ to 2 <sup>+</sup> , 1667.0γ to 5 <sup>-</sup> .	
3753.57 7	10 <sup>-</sup>		DE	J <sup>π</sup> : 955.9γ M1 (stretched) to 9 <sup>-</sup> . J <sup>π</sup> =10 <sup>+</sup> in <sup>139</sup> La( <sup>11</sup> B,4nγ).	
3766 4	3 <sup>-</sup> ,4 <sup>-</sup>		Gh	XREF: h(3767). J <sup>π</sup> : from L(d,t)=0.	
3766.9 10			E		
3770.32 11	2 <sup>+</sup>		B h	XREF: h(3767). J <sup>π</sup> : 749.8 γ to 0 <sup>+</sup> , 2389.0γ to 4 <sup>+</sup> .	
3774.66 <sup>C</sup> 7	10 <sup>+</sup>		DE	J <sup>π</sup> : 207.2γ E2+M1 to 9 <sup>+</sup> ; assignment to the level sequence based on g.s.	
3783.47 <sup>&amp;</sup> 9	11 <sup>-</sup>	10 ps +4-3	DE	J <sup>π</sup> : 985.9γ E2 (stretched) to 9 <sup>-</sup> and assignment to level sequence.	
3786.03 14	(2 <sup>+</sup> ,3,4 <sup>+</sup> )		B	J <sup>π</sup> : 3038.5γ to 2 <sup>+</sup> , 2404.7γ to 4 <sup>+</sup> ; direct population in <sup>146</sup> Eu ε decay (J <sup>π</sup> =4 <sup>-</sup> ).	
3790.06 8	3 <sup>-</sup> ,4 <sup>-</sup>		B G	J <sup>π</sup> : from L(d,t)=0.	
3800.7 10			E		
3804.25 9	(3 <sup>-</sup> ,4,5 <sup>+</sup> )		B	J <sup>π</sup> : 736.6γ to 3 <sup>+</sup> , 544.3γ to 5 <sup>-</sup> .	
3809.6 10			E		
3810 15			H		

Continued on next page (footnotes at end of table)

**Adopted Levels, Gammas (continued)** $^{146}\text{Sm}$  Levels (continued)

E(level) <sup>†‡</sup>	J <sup>π</sup>	T <sub>1/2</sub> <sup>#</sup>	XREF	Comments
3815.2 10			E	
3825.5 10			E	
3835	3 <sup>-</sup> ,4 <sup>-</sup>		G	J <sup>π</sup> : from L(d,t)=0.
3869.7 10			E G	XREF: G(3873).
3891 3	0 <sup>+</sup>		I	J <sup>π</sup> : from L(p,t)=0.
3901 4			G I	XREF: G(3896).
3917 4	3 <sup>-</sup> ,4 <sup>-</sup>		G I	XREF: G(3922).
3924.49 8	(9 <sup>-</sup> )		DE	J <sup>π</sup> : from L(d,t)=0. J <sup>π</sup> : 569.83γ D (ΔJ=0) to 9 <sup>-</sup> , 757.6γ D+Q (ΔJ=1) to 8 <sup>-</sup> , 167.0γ from 11 <sup>-</sup> . J <sup>π</sup> =10 <sup>-</sup> in $^{139}\text{La}(^{11}\text{B},4n\gamma)$ .
3952 4			G	
3963.4 10			E	
3970.25 16			E	
3990.3 10	(3 <sup>-</sup> ),4 <sup>-</sup>		E G	J <sup>π</sup> : from L(d,t)=0, 650.0γ to (5 <sup>-</sup> ,6 <sup>-</sup> ).
4005.7 7			E	
4014 3	(4 <sup>+</sup> )		I	J <sup>π</sup> : from L(p,t)=(4).
4021 3	0 <sup>+</sup>		I	J <sup>π</sup> : from L(p,t)=0.
4031 4	2 <sup>+</sup>		G I	J <sup>π</sup> : from L(p,t)=2.
4032.4 3			E h	XREF: h(4035).
4033.5 <sup>c</sup> 3	(11 <sup>+</sup> )		D	J <sup>π</sup> : 259.0γ to 10 <sup>+</sup> , 466.0γ to 9 <sup>+</sup> ; assigned to level sequence.
4038 3			hI	XREF: h(4035).
4058 4			G	
4080.14 21			E	
4087 4	3 <sup>-</sup> ,4 <sup>-</sup>		G	J <sup>π</sup> : L(d,t)=0.
4091.25 <sup>b</sup> 7	11 <sup>-</sup>	4.9 ps +15-13	DE h	XREF: h(4101). J <sup>π</sup> : 1293.6γ E2 (stretched) to 9 <sup>-</sup> ; assigned to level sequence.
4116 4			Gh	XREF: h(4101).
4125.99 12			E	
4127.8 10			E	
4135.7 10			E	
4143.89 18	(10 <sup>-</sup> ,11 <sup>-</sup> )		DE	J <sup>π</sup> : 1346.17γ to 9 <sup>-</sup> , 436.0γ from (12 <sup>-</sup> ).
4145.3 <sup>@</sup> 5	(10 <sup>+</sup> )		DE	J <sup>π</sup> : 1408.1γ to 8 <sup>+</sup> ; assigned to level sequence with ΔJ=2.
4149			G	
4164.5 10			E h	XREF: h(4168).
4174 4			Gh	XREF: h(4168).
4194.90 <sup>a</sup> 15	12 <sup>+</sup>	10.4 ps 14	DE	J <sup>π</sup> : L(d,t)=(5). J <sup>π</sup> : 411.4γ (E1) (stretched) to 11 <sup>-</sup> , 1397γ E3 to 9 <sup>-</sup> , 1011.4γ E2 from 14 <sup>+</sup> . Two octupole phonon coupled state, bandhead of level sequence.
4202.21 7	(11 <sup>+</sup> )		E	J <sup>π</sup> : 427.5γ D(M1) (ΔJ=1 stretched) to 10 <sup>+</sup> , no γ's to J<10 and decay pattern.
4239.3 4			E	
4250 4			Gh	XREF: h(4267).
4282.32 17			E h	XREF: h(4267).
4291 4			G	
4331 4			G	
4341 4			G	
4341.15 11	(11 <sup>-</sup> )		DE	J <sup>π</sup> : 250.0γ D (ΔJ=0) to 11 <sup>-</sup> , 1543.0γ to 9 <sup>-</sup> , no γ's to J<9 and decay pattern.
4360 4			G	
4374 4			G	
4407 4			G	
4415 4			G	
4443 4			G	
4461.34 7	(12 <sup>-</sup> )	≤5.8 ps	DE	J <sup>π</sup> : 120.4γ (M1+E2) to 11 <sup>-</sup> , 259.1γ E1 to (11 <sup>+</sup> ), no γ's to J<11; J=12 <sup>+</sup> in ( $^{11}\text{B},4n\gamma$ ).

Continued on next page (footnotes at end of table)

**Adopted Levels, Gammas (continued)**

$^{146}\text{Sm}$ Levels (continued)				
E(level) <sup>†‡</sup>	$J^\pi$	$T_{1/2}$ <sup>#</sup>	XREF	Comments
4579.75 12	(12 <sup>-</sup> )		DE	$J^\pi$ : 238.6 $\gamma$ D (stretched $\Delta J=1$ ) to (11 <sup>-</sup> ), no $\gamma$ 's to $J<11$ .
4628.77 <sup>b</sup> 8	13 <sup>-</sup>	5.3 ps +23-20	DE	$J^\pi$ : 537.5 $\gamma$ E2 (stretched) to 11 <sup>-</sup> , 167.4 $\gamma$ (M1+E2) ( $\Delta J=1$ ) to 12 <sup>-</sup> 433.0 $\gamma$ (E1) to 12 <sup>+</sup> ; assigned to the level sequence.
4663 15			H	
4752.24 10	(13 <sup>-</sup> )		DE	$J^\pi$ : 172.5 $\gamma$ (M1+E2, $\Delta J=1$ ) to (12 <sup>-</sup> ), 217.3 $\gamma$ D (stretched) from (14 <sup>-</sup> ). $J^\pi=13^+$ in $^{139}\text{La}(^{11}\text{B},4n\gamma)$ .
4969.51 10	(14 <sup>-</sup> )		DE	$J^\pi$ : 340.7 $\gamma$ D (stretched) to 13 <sup>-</sup> , no $\gamma$ 's to $J<13$ .
5129.47 14	13 <sup>-</sup>		E	$J^\pi$ : 1346.0 $\gamma$ E2 (stretched) to 11 <sup>-</sup> , no $\gamma$ 's to $J<11$ .
5144.2 5			D	
5206.29 <sup>a</sup> 15	14 <sup>+</sup>		DE	$J^\pi$ : 1011.4 $\gamma$ E2 (stretched) to 12 <sup>+</sup> , no $\gamma$ 's to $J<12$ ; assigned to level sequence.
5218.03 <sup>b</sup> 12	(15 <sup>-</sup> )		DE	$J^\pi$ : 248.5 $\gamma$ D(M1) (stretched) to (14 <sup>-</sup> ), 589.3 $\gamma$ to 13 <sup>-</sup> ; assigned to level sequence.
5517.42 14	(16 <sup>-</sup> )		DE	$J^\pi$ : 547.9 $\gamma$ E2 (stretched) to (14 <sup>-</sup> ), 299.4 $\gamma$ (M1+E2) to (15 <sup>-</sup> ).
5613.93 16	(15 <sup>-</sup> )		DE	$J^\pi$ : 644.4 $\gamma$ (M1+E2) to (14 <sup>-</sup> ), no $\gamma$ 's to $J<14$ .
5697.18 <sup>a</sup> 17	(16 <sup>+</sup> )		DE	$J^\pi$ : 490.1 $\gamma$ E2 (stretched) to 14 <sup>+</sup> , no $\gamma$ 's to $J<14$ ; assigned to level sequence.
5800.2 8			D	
5873.0 13			DE	
5972.3 4			E	
6176.9 <sup>a</sup> 3	(18 <sup>+</sup> )		DE	$J^\pi$ : assigned by <a href="#">1995Ba07</a> to two octupole phonon coupled level sequence.

<sup>†</sup> From a least-squares fit to  $E\gamma$ , normalized  $\chi^2=1.3$ . Eight  $E\gamma$ 's are ignored when fitting (see comment for corresponding transitions).

<sup>‡</sup> Levels weakly populated in (d,t) and undetermined in other studies are not shown (detail in [1975Oe01](#)).

<sup>#</sup> From recoil distance measurement in  $^{139}\text{La}(^{11}\text{B},4n\gamma)$  reaction ([1982Ro05](#)), except as noted. The levels populated with significant strength in  $^{146}\text{Nd}(\alpha,4n\gamma)$  reaction ([1978Ki11](#)) have  $T<0.6$  ns.

@ Band(A): Sequence of levels with  $\Delta J=2$  based on ground state  $J^\pi=0^+$ .

& Band(B): Sequence of levels with  $\Delta J=2$  based on  $J^\pi=3^-$  state. One octupole phonon coupled state sequence.

<sup>a</sup> Band(C): Sequence of levels with  $\Delta J=2$  based on  $J^\pi=12^+$  state. Two octupole phonon coupled states sequence.

<sup>b</sup> Band(D): Sequence of levels with  $\Delta J=1$  based on  $J^\pi=9^-$  state.

<sup>c</sup> Band(E): Sequence of levels with  $\Delta J=1$  based on  $J^\pi=6^+$  state.

## Adopted Levels, Gammas (continued)

$\gamma(^{146}\text{Sm})$									
$E_i(\text{level})$	$J_i^\pi$	$E_\gamma^\dagger$	$I_\gamma^b$	$E_f$	$J_f^\pi$	Mult. <sup>c</sup>	$\delta^{df}$	$\alpha^e$	Comments
747.174	2 <sup>+</sup>	747.168 13	100	0.0	0 <sup>+</sup>	E2		0.00473	B(E2)(W.u.)>7.4
1380.301	3 <sup>-</sup>	633.077 22	100	747.174	2 <sup>+</sup>	E1		0.00257	
1381.287	4 <sup>+</sup>	634.134 20	100	747.174	2 <sup>+</sup>	E2		0.00699	B(E2)(W.u.)>13
1647.980	2 <sup>+</sup>	267.60 3	3.3 3	1380.301	3 <sup>-</sup>				
		900.797 18	100 7	747.174	2 <sup>+</sup>	E2+M1	-1.19 +21-26	0.00391 20	
		1648.00# 3	19.5 6	0.0	0 <sup>+</sup>	E2		1.05×10 <sup>-3</sup>	
1811.674	6 <sup>+</sup>	430.385 17	100 2	1381.287	4 <sup>+</sup>	E2		0.0193	B(E2)(W.u.)>14
2045.715	4 <sup>-</sup>	664.65# 14	6.0 4	1381.287	4 <sup>+</sup>	[E1]		0.00232	
		665.423 15	100 14	1380.301	3 <sup>-</sup>	M1+E2	-2.7 5	0.00674 24	
2083.432	5 <sup>-</sup>	271.688 28	22.8 5	1811.674	6 <sup>+</sup>	E1		0.0189	
		702.106 19	100 3	1381.287	4 <sup>+</sup>	E1		0.00207	
		703.090 18	98 3	1380.301	3 <sup>-</sup>	E2		0.00545	
2155.824	2 <sup>+</sup>	775.533# 25	7.8 2	1380.301	3 <sup>-</sup>				
		1408.66 3	100 2	747.174	2 <sup>+</sup>	M1+E2		0.0016 3	
		2155.76# 3	42.3 10	0.0	0 <sup>+</sup>	E2		9.24×10 <sup>-4</sup>	
2222.438	6 <sup>+</sup>	410.772 18	100 2	1811.674	6 <sup>+</sup>	M1+E2	0.14 3	0.0353	
		840.94 10	3.1 2	1381.287	4 <sup>+</sup>				
2225.00	(2 <sup>+</sup> )	844.72# 15	1.0×10 <sup>2</sup> 4	1380.301	3 <sup>-</sup>				
		1477.83# 17	55 19	747.174	2 <sup>+</sup>				
		2224.98# 15	95 6	0.0	0 <sup>+</sup>				
2269.885	3 <sup>+</sup>	224.0@ 10	@	2045.715	4 <sup>-</sup>				
		621.84 4	50.5 14	1647.980	2 <sup>+</sup>	M1+E2		0.010 3	
		888.44# 15	100 23	1381.287	4 <sup>+</sup>	M1+E2	-0.36 +11-18	0.00499 24	
		889.41 13	54 15	1380.301	3 <sup>-</sup>	[E1]		1.29×10 <sup>-3</sup>	
		1522.713 19	81.6 17	747.174	2 <sup>+</sup>	M1+E2		0.00136 21	
2280.902	4 <sup>+</sup>	234.9# 2	0.36 2	2045.715	4 <sup>-</sup>				
		632.889# 40	21.1 3	1647.980	2 <sup>+</sup>				
		899.487#i 22	22.4 16	1381.287	4 <sup>+</sup>	M1+E2	0.12 10	0.00504 10	E <sub>γ</sub> : poor fit; the level energy difference equals 899.611 13.
		900.6@ 10	24@ 7	1380.301	3 <sup>-</sup>				
		1533.714 27	100 2	747.174	2 <sup>+</sup>	E2		1.14×10 <sup>-3</sup>	
2398.7		1651.5 10	100	747.174	2 <sup>+</sup>				
2400.92	2 <sup>+</sup>	1653.72# 8	23.4 8	747.174	2 <sup>+</sup>				
		2400.94# 4	100 3	0.0	0 <sup>+</sup>	E2		9.42×10 <sup>-4</sup>	
2439.071	4 <sup>+</sup>	158.5# 8	0.45 25	2280.902	4 <sup>+</sup>	E2+M1		0.459 10	
		791.107# 19	11.6 3	1647.980	2 <sup>+</sup>	E2		0.00415	
		1057.62# 10	58 10	1381.287	4 <sup>+</sup>	E2(+M1)		0.0028 7	
		1058.68# 9	100 10	1380.301	3 <sup>-</sup>	[E1]		9.28×10 <sup>-4</sup>	



## Adopted Levels, Gammas (continued)

$\gamma(^{146}\text{Sm})$ (continued)									
$E_i$ (level)	$J_i^\pi$	$E_\gamma$ <sup>†</sup>	$I_\gamma$ <sup>b</sup>	$E_f$	$J_f^\pi$	Mult. <sup>c</sup>	$\delta^{df}$	$\alpha^e$	Comments
2439.071	4 <sup>+</sup>	1691.6@ 10	13@ 3	747.174	2 <sup>+</sup>				
2513.448	3 <sup>-</sup>	467.762# 25	9.7 6	2045.715	4 <sup>-</sup>				
		865.343‡ 44	19.9 4	1647.980	2 <sup>+</sup>	E1+(M2)	-0.10 +20-26	0.0015 14	
		1132.06# 7	17 4	1381.287	4 <sup>+</sup>	[E1]		8.26×10 <sup>-4</sup>	
		1133.12# 7	100 4	1380.301	3 <sup>-</sup>	M1+E2	+0.07 +9-7	0.00293 5	$\delta$ : from 1992Ad04; the 2 <sup>nd</sup> value +1.14 18.
		1766.278 21	97 2	747.174	2 <sup>+</sup>	E1		7.89×10 <sup>-4</sup>	
2531.934	4 <sup>+</sup>	251.2# 4		2280.902	4 <sup>+</sup>				
		376.11# 4	2.6 4	2155.824	2 <sup>+</sup>				
		1150.626# 15	100 2	1381.287	4 <sup>+</sup>	M1+E2	-0.42 5	0.00268 5	
		1784.762# 13	33.6 7	747.174	2 <sup>+</sup>	E2		9.83×10 <sup>-4</sup>	
2544.18	2 <sup>+</sup>	1796.89# 8	71 4	747.174	2 <sup>+</sup>				
		2544.21# 6	100 3	0.0	0 <sup>+</sup>	E2		9.64×10 <sup>-4</sup>	
2551.97		903.98# 25	100 25	1647.980	2 <sup>+</sup>				
		1804.79# 24	73 22	747.174	2 <sup>+</sup>				
2589.26		1208.95@ 15	100@	1380.301	3 <sup>-</sup>				
2600.38	7 <sup>-</sup>	516.88@ 3	9.9@ 11	2083.432	5 <sup>-</sup>	E2		0.01175	B(E2)(W.u.)=2.7 11
		788.76 3	100@ 13	1811.674	6 <sup>+</sup>	E1		1.63×10 <sup>-3</sup>	B(E1)(W.u.)=4.1×10 <sup>-5</sup> 17
2605.11		1857.92# 5	100	747.174	2 <sup>+</sup>				
2636.03		1255.72# 6	100	1380.301	3 <sup>-</sup>				$E_\gamma$ : doublet line is assumed by 1995Va40, $\Delta E_\gamma$ in coincidence measurement can not identify what level of 1380-1381 doublet is populated.
2649.59	(2 <sup>+</sup> )	210.5# 5	15 5	2439.071	4 <sup>+</sup>				
		1902.45# 6	100 4	747.174	2 <sup>+</sup>				
		2650.35g‡#i 17	19.9g 15	0.0	0 <sup>+</sup>				$E_\gamma$ : poor fit; the level energy difference equals 2649.57 6.
2667.19	4 <sup>-</sup>	397.31# 6	≈100	2269.885	3 <sup>+</sup>				
		583.76 3	100@ 6	2083.432	5 <sup>-</sup>	M1		0.01459	
		621.4@ 1	26@ 4	2045.715	4 <sup>-</sup>	E0+M1+E2		0.010 3	$\alpha$ : for M1+E2.
		855.45@ 10	18@ 2	1811.674	6 <sup>+</sup>	(M2+E3)	0.05 +20-29	0.0149 5	
		1287.6@ 6	20@	1380.301	3 <sup>-</sup>				
2678.287	4 <sup>+</sup>	397.327# 26	12.3 13	2280.902	4 <sup>+</sup>	E2+M1		0.031 8	
		522.2# 2	2.54 7	2155.824	2 <sup>+</sup>				
		1030.274# 37	0.24 4	1647.980	2 <sup>+</sup>				
		1297.029# 16	100 2	1381.287	4 <sup>+</sup>	E2+(M1)	-1.25 25	0.00175 8	
		1931.087# 20	22.1 6	747.174	2 <sup>+</sup>	E2		9.42×10 <sup>-4</sup>	

## Adopted Levels, Gammas (continued)

$\gamma(^{146}\text{Sm})$ (continued)									
$E_i(\text{level})$	$J_i^\pi$	$E_\gamma^\dagger$	$I_\gamma^b$	$E_f$	$J_f^\pi$	Mult. <sup>c</sup>	$\delta df$	$\alpha^e$	Comments
2684.714	(2 <sup>+</sup> )	403.73 4 1036.66 8 1303.47 5 1937.57 11	94 10 66 4 100 5 96 6	2280.902 1647.980 1381.287 747.174	4 <sup>+</sup> 2 <sup>+</sup> 4 <sup>+</sup> 2 <sup>+</sup>				
2737.16	8 <sup>+</sup>	136.86 22 515.3 @ 8 925.52 @ 19	2.6 @ 3 1.6 @ 16 100 @ 10	2600.38 2222.438 1811.674	7 <sup>-</sup> 6 <sup>+</sup> 6 <sup>+</sup>	E1 [E2] E2		0.1175 0.01184 0.00293	B(E1)(W.u.)=0.00021 9 B(E2)(W.u.)=0.5 5 B(E2)(W.u.)=1.6 7
2740.7		1994.0 # 10	100	747.174	2 <sup>+</sup>				
2744.28	(4 <sup>+</sup> ,5,6 <sup>+</sup> )	463.35 @ 15 521.9 @ 2	28 @ 5 100 @ 20	2280.902 2222.438	4 <sup>+</sup> 6 <sup>+</sup>				
2782.92	(4 <sup>+</sup> ,5 <sup>-</sup> )	699.6 @ 10 971.3 @ 2 1400.8 @ 7 1402.9 @ 10	@ 100 @ 28 18 @ 8 26 @ 13	2083.432 1811.674 1381.287 1380.301	5 <sup>-</sup> 6 <sup>+</sup> 4 <sup>+</sup> 3 <sup>-</sup>				
2788.224	5 <sup>-</sup>	704.772 # 19 742.55 11 976.51 5 1406.98 3 1407.2 @ 2	100.0 21 38 5 10 4 91.6 21 42 10	2083.432 2045.715 1811.674 1381.287	5 <sup>-</sup> 4 <sup>-</sup> 6 <sup>+</sup> 4 <sup>+</sup>	M1 E2+M1 (E1)	-1.2 +6-11	0.00915 0.0061 11 7.01×10 <sup>-4</sup>	
2797.67	9 <sup>-</sup>	60.68 16 197.36 13 986.0 & 5	100 @ 10 69 @ 11 7.4 @ 8	2737.16 2600.38 1811.674	8 <sup>+</sup> 7 <sup>-</sup> 6 <sup>+</sup>	E1 E2 E3		1.051 17 0.218 0.00550	B(E1)(W.u.)=0.00044 +9-12 B(E2)(W.u.)=12 +3-4 B(E3)(W.u.)=32 +7-9
2799.89	3 <sup>+</sup>	715.1 # 11 753.80 † # i 8 2052.71 # 5	4.0 5 100 3	2083.432 2045.715 747.174	5 <sup>-</sup> 4 <sup>-</sup> 2 <sup>+</sup>			0.00107 2 1.07×10 <sup>-3</sup> 2	E <sub>γ</sub> : poor fit; the level energy difference equals 754.17 4. δ: from 1992Ad04; the 2 <sup>nd</sup> value +4.4 +5-3.
2826.3	6 <sup>-</sup>	1014.6 @ 7	100 @	1811.674	6 <sup>+</sup>	E1		1.00×10 <sup>-3</sup>	
2829.24	(2 <sup>+</sup> )	549.1 # 10 1448.1 # 2 2081.7 # 3	78 17 1.0×10 <sup>2</sup> 4 ≈56	2280.902 1381.287 747.174	4 <sup>+</sup> 4 <sup>+</sup> 2 <sup>+</sup>				
2850.317	4 <sup>+</sup>	172.1 # 3 411.1 @ 10 569.54 5 766.838 # 23 804.61 10 1038.35 # 20	@ @ 100 6 78 2 80.5 25 20.3 25	2678.287 2439.071 2280.902 2083.432 2045.715 1811.674	4 <sup>+</sup> 4 <sup>+</sup> 4 <sup>+</sup> 5 <sup>-</sup> 4 <sup>-</sup> 6 <sup>+</sup>			0.01551 0.0078 25	

## Adopted Levels, Gammas (continued)

$\gamma(^{146}\text{Sm})$ (continued)								
$E_i(\text{level})$	$J_i^\pi$	$E_\gamma^\dagger$	$I_\gamma^b$	$E_f$	$J_f^\pi$	Mult. <sup>c</sup>	$\alpha^e$	Comments
2850.317	4 <sup>+</sup>	1469.93 15	83.1 34	1380.301	3 <sup>-</sup>			
		2103.16# 5	63.6 25	747.174	2 <sup>+</sup>	E2	9.25×10 <sup>-4</sup>	
2879.11		833.1# 2	50 4	2045.715	4 <sup>-</sup>			
		1231.03# 10	70 7	1647.980	2 <sup>+</sup>			
		2132.09# 10	100 5	747.174	2 <sup>+</sup>			
2898.309	5 <sup>+</sup>	459.6@ 10	@	2439.071	4 <sup>+</sup>			
		814.70# 25	1.29 24	2083.432	5 <sup>-</sup>			
		852.2@ 10	@	2045.715	4 <sup>-</sup>			
		1086.636 17	84 2	1811.674	6 <sup>+</sup>	M1	0.00323	
		1517.00 3	100 2	1381.287	4 <sup>+</sup>	M1+E2	0.00137 22	
2905.97	(4 <sup>+</sup> )	636.22# 13	1.0×10 <sup>2</sup> 4	2269.885	3 <sup>+</sup>			
		1094.10# 11	14.5 13	1811.674	6 <sup>+</sup>			
		2158.92# 13	2.7 12	747.174	2 <sup>+</sup>			
2932.33	(4 <sup>+</sup> )	848.70 <sup>ha</sup> 15	100 <sup>h</sup> 21	2083.432	5 <sup>-</sup>			
		1120.77# 9	19 1	1811.674	6 <sup>+</sup>			
		1551.01 14	93 15	1381.287	4 <sup>+</sup>			
		1552.00 11	61 15	1380.301	3 <sup>-</sup>			
2968.83	2 <sup>+</sup> ,3 <sup>+</sup>	1587.53# 8	12 8	1381.287	4 <sup>+</sup>			
		1588.53# 8	15 8	1380.301	3 <sup>-</sup>			
		2221.64 5	100 4	747.174	2 <sup>+</sup>	M1	1.08×10 <sup>-3</sup>	
2973.34	3 <sup>+</sup> ,4 <sup>+</sup>	534.26# 9	76 24	2439.071	4 <sup>+</sup>			
		703.46 6	64 12	2269.885	3 <sup>+</sup>			
		1325.35# 4	52.9 18	1647.980	2 <sup>+</sup>			
		1592.04# 6	100 18	1381.287	4 <sup>+</sup>	(M1+E2)	0.00127 19	
		1593.05# 6	100 18	1380.301	3 <sup>-</sup>	[E1]	7.31×10 <sup>-4</sup>	
2974.39	3 <sup>-</sup>	295.59# 25	18 4	2678.287	4 <sup>+</sup>			
		891.29# 20	100 25	2083.432	5 <sup>-</sup>			
		2227.2# 4	≈8.3	747.174	2 <sup>+</sup>			
2978.0		1596.7@ 10	100@	1381.287	4 <sup>+</sup>			
2984.5		1172.8@ 3	100@	1811.674	6 <sup>+</sup>			
3011.24		788.8 <sup>h</sup> @ 1	100 <sup>h</sup> @	2222.438	6 <sup>+</sup>			
3014.624	3 <sup>+</sup>	575.64# 16	4.7 14	2439.071	4 <sup>+</sup>			
		733.97# 13	10.8 14	2280.902	4 <sup>+</sup>			
		968.83 9	10.6 7	2045.715	4 <sup>-</sup>			
		1202.75 21	1.6 5	1811.674	6 <sup>+</sup>			
		1366.69# 8	7.9 23	1647.980	2 <sup>+</sup>			

Mult.: would be M3/E4.

## Adopted Levels, Gammas (continued)

$\gamma(^{146}\text{Sm})$ (continued)								
$E_i(\text{level})$	$J_i^\pi$	$E_\gamma^\dagger$	$I_\gamma^b$	$E_f$	$J_f^\pi$	Mult. <sup>c</sup>	$\delta df$	$\alpha^e$
3014.624	3 <sup>+</sup>	1633.30 <sup>#</sup> 3	94 2	1381.287	4 <sup>+</sup>	M1		1.40×10 <sup>-3</sup>
		2267.49 <sup>#</sup> 4	100 3	747.174	2 <sup>+</sup>	M1		1.08×10 <sup>-3</sup>
3019.54		797.1 <sup>@</sup> 2	@	2222.438	6 <sup>+</sup>			
3020.6	0 <sup>+</sup>	2273.4 <sup>#</sup> 15	100	747.174	2 <sup>+</sup>			
3039.5		600.4 <sup>#</sup> 10	100	2439.071	4 <sup>+</sup>			
3043.13	8 <sup>+</sup>	305.5 <sup>@</sup> 5	3 <sup>@</sup> 3	2737.16	8 <sup>+</sup>			
		442.4 <sup>@</sup> 3	7 <sup>@</sup> 4	2600.38	7 <sup>-</sup>			
		820.68 3	100 <sup>@</sup> 10	2222.438	6 <sup>+</sup>	E2		0.00382
3058.09		1231.42 18	10.0 <sup>@</sup> 11	1811.674	6 <sup>+</sup>	E2		1.63×10 <sup>-3</sup>
		833.11 <sup>#</sup> 9	12.2 13	2225.00	(2 <sup>+</sup> )			
		974.9 <sup>#</sup> 1	100 5	2083.432	5 <sup>-</sup>			
3067.703	3 <sup>+</sup>	2310.81 <sup>#</sup> 8	20.8 10	747.174	2 <sup>+</sup>			
		1022.05 <sup>#</sup> 9	3.6 11	2045.715	4 <sup>-</sup>			
		1419.70 <sup>#</sup> 3	20.6 8	1647.980	2 <sup>+</sup>			
3072.933	5 <sup>+</sup>	1686.397 <sup>#</sup> 21	100.0 21	1381.287	4 <sup>+</sup>	M1+E2	-0.52 +7-10	0.00127 3
		2320.54 <sup>#</sup> 4	15.2 4	747.174	2 <sup>+</sup>	M1+E2		0.00100 8
		222.33 <sup>#</sup> 10	3.5 2	2850.317	4 <sup>+</sup>	M1		0.181
		850.49 10	56 3	2222.438	6 <sup>+</sup>	M1		0.00580
		989.49 <sup>#</sup> 4	15.8 5	2083.432	5 <sup>-</sup>			
3092.39	(4 <sup>+</sup> ,5,6 <sup>+</sup> )	1027.26 <sup>#</sup> 5	17.4 7	2045.715	4 <sup>-</sup>			
		1691.643 <sup>#</sup> 22	100 2	1381.287	4 <sup>+</sup>	E2+M1	-0.17 5	1.32×10 <sup>-3</sup> 2
		811.35 <sup>@</sup> 15	34 <sup>@</sup> 6	2280.902	4 <sup>+</sup>			
		1009.1 <sup>@</sup> 2	100 <sup>@</sup> 7	2083.432	5 <sup>-</sup>			
3093.122	3 <sup>+</sup>	1280.8 <sup>@</sup> 2	13.5 <sup>@</sup> 18	1811.674	6 <sup>+</sup>			
		812.21 <sup>#</sup> 3	20.1 6	2280.902	4 <sup>+</sup>	M1		0.00648
		823.21 <sup>#</sup> 3	14.1 5	2269.885	3 <sup>+</sup>	E2		0.00379
		937.29 <sup>#</sup> 4	8.5 10	2155.824	2 <sup>+</sup>			
		1047.36 <sup>#</sup> 5	12.4 4	2045.715	4 <sup>-</sup>			
3099.49	7 <sup>-</sup>	1445.136 <sup>#</sup> 23	93.0 25	1647.980	2 <sup>+</sup>	M1+(E2)		0.00149 25
		1711.844 <sup>#</sup> 22	53 1	1381.287	4 <sup>+</sup>	M1+E2		0.00116 15
		2345.91 <sup>#</sup> 30	100 2	747.174	2 <sup>+</sup>	M1+E2		0.00100 7
		362.25 <sup>@</sup> 15	6 <sup>@</sup> 4	2737.16	8 <sup>+</sup>			
		499.1 <sup>@</sup> 1	50 <sup>@</sup> 7	2600.38	7 <sup>-</sup>			
		877.1 <sup>@</sup> 2	68 <sup>@</sup> 8	2222.438	6 <sup>+</sup>			

Adopted Levels, Gammas (continued)

$\gamma(^{146}\text{Sm})$ (continued)									
$E_i(\text{level})$	$J_i^\pi$	$E_\gamma^\dagger$	$I_\gamma^b$	$E_f$	$J_f^\pi$	Mult. <sup>c</sup>	$\delta df$	$\alpha^e$	Comments
3099.49	7 <sup>-</sup>	1014.65 @i 45	7 @ 5	2083.432	5 <sup>-</sup>				E <sub>γ</sub> : poor fit; the level energy difference equals 1016.09 8.
		1288.05 @ 15	100 @ 10	1811.674	6 <sup>+</sup>	E1(+M2)	+0.016 64	0.00072 3	
3105.38	(2 <sup>+</sup> ,3,4 <sup>+</sup> )	1724.07# 6	100 14	1381.287	4 <sup>+</sup>				
		1725.08# 6	86 14	1380.301	3 <sup>-</sup>				
		2358.17# 13	44 3	747.174	2 <sup>+</sup>				
3123.29	(2 <sup>+</sup> ,3,4 <sup>+</sup> )	445.0# 3	100 20	2678.287	4 <sup>+</sup>				
		1475.3# 3	5.5 15	1647.980	2 <sup>+</sup>				
3129.8		848.85h# 30	100h	2280.902	4 <sup>+</sup>				
3136.38	3 <sup>-</sup>	1090.844#i 21	23.4 5	2045.715	4 <sup>-</sup>	M1		0.00321	E <sub>γ</sub> : poor fit; the level energy difference equals 1090.660 25.
		1488.48# 13	3.8 4	1647.980	2 <sup>+</sup>				
		1756.08# 3	100 3	1380.301	3 <sup>-</sup>	M1+E2	-0.10 4	1.27×10 <sup>-3</sup>	
		2389.13# 4	16.8 7	747.174	2 <sup>+</sup>	E1+M2	-0.05 +4-5	1.08×10 <sup>-3</sup> 2	
3151.44		870.55# 6	31 11	2280.902	4 <sup>+</sup>				
		881.55# 3	100 5	2269.885	3 <sup>+</sup>				
3166.91	8 <sup>-</sup>	369.58 15	16 @ 4	2797.67	9 <sup>-</sup>				
		566.54 4	100 @ 6	2600.38	7 <sup>-</sup>	M1		0.01572	
3183.28	8 <sup>-</sup>	385.60 @ 6	25 @ 6	2797.67	9 <sup>-</sup>	M1		0.0419	
		445.9 @ 10	@	2737.16	8 <sup>+</sup>				
		582.95 @ 19	100 @ 6	2600.38	7 <sup>-</sup>	D+Q			
3183.928	3 <sup>+</sup>	914.031# 16	66.6 15	2269.885	3 <sup>+</sup>	M1		0.00488	
		1028.10# 5	2.2 3	2155.824	2 <sup>+</sup>				
		1535.93# 5	18.6 16	1647.980	2 <sup>+</sup>				
		1802.76# 7	16.5 9	1381.287	4 <sup>+</sup>	M1+E2		0.00110 13	
		2436.74# 4	100.0 21	747.174	2 <sup>+</sup>	M1+E2	0.35 10	1.06×10 <sup>-3</sup> 2	
3185.67		1102.15 @ 10	100 @ 10	2083.432	5 <sup>-</sup>				
		1374.3 @ 2	71 @ 11	1811.674	6 <sup>+</sup>				
3198.84		976.4 @ 2	100 @	2222.438	6 <sup>+</sup>				
3200.019	4 <sup>-</sup>	686.54# 10	7.5 6	2513.448	3 <sup>-</sup>				
		760.963# 23	21.9 7	2439.071	4 <sup>+</sup>				
		918.94# 6	16.6 7	2280.902	4 <sup>+</sup>				
		930.39# 11	4.7 12	2269.885	3 <sup>+</sup>				
		1116.566# 15	100 2	2083.432	5 <sup>-</sup>	M1+E2	-0.30 +9-12	0.00295 9	
		1818.78# 3	29.1 7	1381.287	4 <sup>+</sup>				

Adopted Levels, Gammas (continued)

$\gamma(^{146}\text{Sm})$ (continued)								
$E_i(\text{level})$	$J_i^\pi$	$E_\gamma^\dagger$	$I_\gamma^b$	$E_f$	$J_f^\pi$	Mult. <sup>c</sup>	$\delta df$	$\alpha^e$
3208.31	(8 <sup>+</sup> )	985.87@ 3	100@	2222.438	6 <sup>+</sup>	(E2)		0.00256
3220.87	(3 <sup>-</sup> ,4,5 <sup>-</sup> )	1137.66# 13	30.7 21	2083.432	5 <sup>-</sup>			
		1175.09# 11	100 21	2045.715	4 <sup>-</sup>			
		1840.52# 6	14 6	1380.301	3 <sup>-</sup>			
3223.9	(2 <sup>+</sup> ,3 <sup>+</sup> ,4 <sup>+</sup> )	394.7# 15	100	2829.24	(2 <sup>+</sup> )			
3231.63	4 <sup>+</sup>	553.35# 11	100 18	2678.287	4 <sup>+</sup>			
		1009.27# 11	3.1 3	2222.438	6 <sup>+</sup>			
		2484.39# 8	5.32 21	747.174	2 <sup>+</sup>			
3238.646	4 <sup>+</sup>	224.05# 3	22.4 16	3014.624	3 <sup>+</sup>			
		837.72# 8	3.2 4	2400.92	2 <sup>+</sup>			
		1155.09 4	100 3	2083.432	5 <sup>-</sup>			
		1427.55@ 25	≈100@	1811.674	6 <sup>+</sup>			
		1857.33# 5	27 5	1381.287	4 <sup>+</sup>			
		1858.34# 5	31 5	1380.301	3 <sup>-</sup>			
		2491.51# 4	94.8 26	747.174	2 <sup>+</sup>	E2		9.55×10 <sup>-4</sup>
3244.65	(2 <sup>+</sup> ,3,4 <sup>+</sup> )	843.72# 9	2.2 5	2400.92	2 <sup>+</sup>			
		974.77# 8	100 15	2269.885	3 <sup>+</sup>			
		1088.83# 8	21.2 20	2155.824	2 <sup>+</sup>			
		1596.66# 7	66 3	1647.980	2 <sup>+</sup>			
		1863.29# 17	9.7 9	1381.287	4 <sup>+</sup>			
		2497.46# 5	42.4 11	747.174	2 <sup>+</sup>			
3259.934	5 <sup>-</sup>	202.2# 4	0.61 12	3058.09				
		471.67# 4	2.23 11	2788.224	5 <sup>-</sup>			
		658.3@ 10		2600.38	7 <sup>-</sup>			
		820.0@ 10		2439.071	4 <sup>+</sup>			
		979.09# 10	2.74 18	2280.902	4 <sup>+</sup>			
		1176.522# 24	100.0 24	2083.432	5 <sup>-</sup>	M1+E2	0.77 10	0.00235 7
		1214.209# 21	19.5 4	2045.715	4 <sup>-</sup>	M1+E2	0.75 +26-13	0.00220 13
		1448.21# 6	5.7 2	1811.674	6 <sup>+</sup>			
		1878.62# 3	9.2 6	1381.287	4 <sup>+</sup>	E1		8.36×10 <sup>-4</sup>
		1879.63# 3	4.9 6	1380.301	3 <sup>-</sup>	[E2]		9.53×10 <sup>-4</sup>
3278.14		1055.7@ 2	100@	2222.438	6 <sup>+</sup>			
3278.18	2 <sup>+</sup>	449.2# 5	1.0×10 <sup>2</sup> 4	2829.24	(2 <sup>+</sup> )			
		1896.85# 19	6 3	1381.287	4 <sup>+</sup>			
		1897.85# 19	6 3	1380.301	3 <sup>-</sup>			

## Adopted Levels, Gammas (continued)

$\gamma(^{146}\text{Sm})$ (continued)									
$E_i(\text{level})$	$J_i^\pi$	$E_\gamma^\dagger$	$I_\gamma^b$	$E_f$	$J_f^\pi$	Mult. <sup>c</sup>	$\delta^{df}$	$\alpha^e$	Comments
3288.60	(2 <sup>+</sup> ,3,4 <sup>+</sup> )	459.35 <sup>#</sup> 6 548.4 <sup>#</sup> 10	1.0×10 <sup>2</sup> 3 6.7 19	2829.24 2740.7	(2 <sup>+</sup> )				
3290.7	8 <sup>+</sup>	492.7 <sup>@</sup> 10 690.2 <sup>@</sup> 10 1479.0 <sup>@</sup> 3	29 <sup>@</sup> 11 20 <sup>@</sup> 10 100 <sup>@</sup> 26	2797.67 2600.38 1811.674	9 <sup>-</sup> 7 <sup>-</sup> 6 <sup>+</sup>	E2(+M3)	-0.11 +12-13	0.00126 23	
3327.0		1243.6 <sup>@</sup> 4	100 <sup>@</sup>	2083.432	5 <sup>-</sup>				
3329.90	(2 <sup>+</sup> ,3,4 <sup>+</sup> )	1681.94 <sup>#</sup> 13 1948.65 <sup>#</sup> 6 2582.51 <sup>#</sup> 11	29 2 100 4 13.2 9	1647.980 1381.287 747.174	2 <sup>+</sup> 4 <sup>+</sup> 2 <sup>+</sup>				
3338.27	3 <sup>+</sup>	550.4 <sup>#</sup> 3 937.33 <sup>#</sup> 8 1068.32 <sup>#</sup> 7 1956.97 <sup>#</sup> 4 2591.11 <sup>#</sup> 8	28 5 1.8 3 27.5 14 100 24 15.4 5	2788.224 2400.92 2269.885 1381.287 747.174	5 <sup>-</sup> 2 <sup>+</sup> 3 <sup>+</sup> 4 <sup>+</sup> 2 <sup>+</sup>	M1+(E2)		0.00103 7	
3340.26	(5 <sup>-</sup> ,6 <sup>-</sup> )	552.0 <sup>@</sup> 10 672.9 <sup>@</sup> 10 739.85 <sup>@</sup> 10 1117.95 <sup>@</sup> 15 1256.7 <sup>@</sup> 2 1528.3 <sup>@</sup> 10	  86 <sup>@</sup> 14 100 <sup>@</sup> 18 29 <sup>@</sup> 4  @	2788.224 2667.19 2600.38 2222.438 2083.432 1811.674	5 <sup>-</sup> 4 <sup>-</sup> 7 <sup>-</sup> 6 <sup>+</sup> 5 <sup>-</sup> 6 <sup>+</sup>				
3354.64	9 <sup>-</sup>	187.75 5 556.9 1  617.46 13 754.17 18	5.6 3 100 <sup>@</sup> 6  10 <sup>@</sup> 3 6.7 <sup>@</sup> 6	3166.91 2797.67  2737.16 2600.38	8 <sup>-</sup> 9 <sup>-</sup>  8 <sup>+</sup> 7 <sup>-</sup>	[M1] M1+E2  [E1] E2		0.287 0.0157 8  0.00271 0.00463	B(M1)(W.u.)=0.0053 +9-11 B(M1)(W.u.)=0.0032 +7-8; B(E2)(W.u.)<1.4 B(E1)(W.u.)=2.9×10 <sup>-6</sup> +10-11 B(E2)(W.u.)=0.097 +18-20
3361.08	3 <sup>-</sup> ,4 <sup>-</sup>	847.5 <sup>@</sup> 10 1277.55 <sup>#</sup> 6 1980.79 <sup>#</sup> 3	 29.3 13 100 4	2513.448 2083.432 1380.301	3 <sup>-</sup> 5 <sup>-</sup> 3 <sup>-</sup>	M1		1.13×10 <sup>-3</sup>	
3368.76	(4 <sup>+</sup> )	1987.44 <sup>#</sup> 15 1988.45 <sup>#</sup> 15 2621.56 <sup>#</sup> 11	70 40 100 40 57 4	1381.287 1380.301 747.174	4 <sup>+</sup> 3 <sup>-</sup> 2 <sup>+</sup>				
3376.78	4 <sup>+</sup>	937.68 <sup>#</sup> 8 1293.48 <sup>#</sup> 13 1330.33 <sup>‡#i</sup> 20	15 6 40 4 10.3 14	2439.071 2083.432 2045.715	4 <sup>+</sup> 5 <sup>-</sup> 4 <sup>-</sup>				

$E_\gamma$ : poor fit; the level energy difference equals 1331.02 4.

## Adopted Levels, Gammas (continued)

$E_i(\text{level})$	$J_i^\pi$	$E_\gamma^\dagger$	$\gamma(^{146}\text{Sm})$ (continued)						Comments
			$I_\gamma^b$	$E_f$	$J_f^\pi$	Mult. <sup>c</sup>	$\delta^{df}$	$\alpha^e$	
3376.78	4 <sup>+</sup>	1728.76 <sup>#</sup> 7	4.1 11	1647.980	2 <sup>+</sup>				
		1995.75 <sup>#i</sup> 9	100 4	1381.287	4 <sup>+</sup>	M1+E2		0.00103 10	$E_\gamma$ : poor fit; the level energy difference equals 1995.44 4.
3377.14		2629.50 <sup>#</sup> 5	22.9 6	747.174	2 <sup>+</sup>	E2		9.80×10 <sup>-4</sup>	
		210.6 <sup>@</sup> 10	100 <sup>@</sup> 23	3166.91	8 <sup>-</sup>				
		776.75 <sup>@</sup> 15	91 <sup>@</sup> 17	2600.38	7 <sup>-</sup>				
3378.45	(3 <sup>-</sup> ,4,5 <sup>-</sup> )	1294.3 <sup>@</sup> 10		2083.432	5 <sup>-</sup>				
		1332.74 <sup>#</sup> 4	100 4	2045.715	4 <sup>-</sup>	D+Q			
3391.1		1998.00 <sup>#</sup> 15	46 6	1380.301	3 <sup>-</sup>				
3391.678	3 <sup>-</sup>	1579.45 <sup>@</sup> 45	100 <sup>@</sup>	1811.674	6 <sup>+</sup>				
3397.62	(4 <sup>+</sup> )	459.4 <sup>#</sup> 2	38 3	2932.33	(4 <sup>+</sup> )				
		1110.79 <sup>#</sup> 5	9.3 21	2280.902	4 <sup>+</sup>				
		1743.69 <sup>#</sup> 3	27.0 13	1647.980	2 <sup>+</sup>				
		2010.37 <sup>#</sup> 4	43 7	1381.287	4 <sup>+</sup>				
		2011.38 <sup>#</sup> 4	100 7	1380.301	3 <sup>-</sup>	M1+E2		0.00103 10	
3412.7	(4 <sup>+</sup> ,5,6 <sup>-</sup> )	2644.43 <sup>#</sup> 5	77.1 21	747.174	2 <sup>+</sup>	E1		1.20×10 <sup>-3</sup>	
		1175.0 <sup>#</sup> 2	100 18	2222.438	6 <sup>+</sup>				
		2017.40 <sup>#</sup> 13	21.2 16	1380.301	3 <sup>-</sup>				
3418.98	3 <sup>+</sup>	2650.358 <sup>#</sup> 17	7.18 <sup>g</sup> 6	747.174	2 <sup>+</sup>				
		1190.2 <sup>@</sup> 10		2222.438	6 <sup>+</sup>				
3427.77	3 <sup>+</sup>	1367.1 <sup>@</sup> 10		2045.715	4 <sup>-</sup>				
		1137.8 <sup>#</sup> 3	32 2	2280.902	4 <sup>+</sup>				
		1335.52 <sup>#</sup> 9	100 5	2083.432	5 <sup>-</sup>				
		1373.5 <sup>a</sup> 1		2045.715	4 <sup>-</sup>				
		2037.86 <sup>#</sup> 7	54.3 18	1381.287	4 <sup>+</sup>				
3431.28	3 <sup>-</sup> ,4 <sup>-</sup>	2671.65 <sup>#</sup> 5	29.6 8	747.174	2 <sup>+</sup>	M1+E2		0.00105 7	$\delta$ : from 1992Ad04; -0.21 +8-9 or -2.1 +4-5.
		2680.57 <sup>#</sup> 7	100	747.174	2 <sup>+</sup>				
3461.572	5 <sup>-</sup>	1347.79 <sup>#</sup> 6	36.1 17	2083.432	5 <sup>-</sup>				
		1385.60 <sup>#</sup> 6	1.0×10 <sup>2</sup> 6	2045.715	4 <sup>-</sup>				
		2049.96 <sup>#</sup> 8	23 3	1381.287	4 <sup>+</sup>				
		2050.97 <sup>#</sup> 8	97 13	1380.301	3 <sup>-</sup>				
3461.572	5 <sup>-</sup>	948.14 <sup>#</sup> 15	0.54 9	2513.448	3 <sup>-</sup>				
		1378.135 <sup>#</sup> 19	35.9 8	2083.432	5 <sup>-</sup>	M1+E2		0.00189	$\delta$ : from 1992Ad04; -0.12 8 or +0.97 15.
		1415.859 <sup>#</sup> 21	14.5 3	2045.715	4 <sup>-</sup>	M1+E2	+0.45 +7-5	0.00171 4	
		1649.76 <sup>#</sup> 10	8.9 11	1811.674	6 <sup>+</sup>				



Adopted Levels, Gammas (continued)

E <sub>i</sub> (level)	J <sup>π</sup> <sub>i</sub>	<u>γ(146Sm) (continued)</u>						
		E <sub>γ</sub> <sup>†</sup>	I <sub>γ</sub> <sup>b</sup>	E <sub>f</sub>	J <sup>π</sup> <sub>f</sub>	Mult. <sup>c</sup>	α <sup>e</sup>	Comments
3461.572	5 <sup>-</sup>	2080.05 <sup>#</sup> 15	44 17	1381.287	4 <sup>+</sup>	E1	9.29×10 <sup>-4</sup>	
		2081.11 <sup>#</sup> 15	100 17	1380.301	3 <sup>-</sup>	E2	9.25×10 <sup>-4</sup>	
3465.84		1184.93 <sup>#</sup> 3	100	2280.902	4 <sup>+</sup>			
3471.90	(2 <sup>+</sup> ),3 <sup>+</sup>	1191.01 <sup>#</sup> 10	42 13	2280.902	4 <sup>+</sup>			
		1823.90 <sup>#</sup> 10	28 6	1647.980	2 <sup>+</sup>			
3475.09	5 <sup>+</sup> ,(6 <sup>+</sup> )	2724.70 <sup>#</sup> 6	100 3	747.174	2 <sup>+</sup>	M1	1.12×10 <sup>-3</sup>	
		624.75 <sup>#</sup> 14	100 12	2850.317	4 <sup>+</sup>			
		1663.42 <sup>#</sup> 6	80 2	1811.674	6 <sup>+</sup>	M1(+E2)	0.00120 16	
3476.95	(2 <sup>+</sup> ,3,4,5 <sup>-</sup> )	2092.7 <sup>@</sup> 7		1381.287	4 <sup>+</sup>			
		2095.64 <sup>#</sup> 20	100 13	1381.287	4 <sup>+</sup>			
3484.3	(4 <sup>+</sup> ,5,6 <sup>-</sup> )	2096.64 <sup>#</sup> 20	100 13	1380.301	3 <sup>-</sup>			
		818.3 <sup>@</sup> 10		2667.19	4 <sup>-</sup>			
3509.34	(3 <sup>+</sup> )	1672.5 <sup>@</sup> 3		1811.674	6 <sup>+</sup>			
		441.43 <sup>#</sup> 12	50 6	3067.703	3 <sup>+</sup>			
		721.24 <sup>#</sup> 8	100 7	2788.224	5 <sup>-</sup>			
3517.37	3 <sup>+</sup>	1239.86 <sup>#</sup> 20	15 4	2269.885	3 <sup>+</sup>			
		2762.04 <sup>#</sup> 8	27.0 11	747.174	2 <sup>+</sup>	(M1+E2)	0.00107 7	
		380.91 <sup>#</sup> 7	83 3	3136.38	3 <sup>-</sup>			
		1004.3 <sup>#</sup> 4	8.3 25	2513.448	3 <sup>-</sup>			
		1078.29 <sup>#</sup> 7	31.7 11	2439.071	4 <sup>+</sup>			
		1471.63 <sup>#</sup> 14	58.0 25	2045.715	4 <sup>-</sup>			
		1869.86 <sup>#</sup> 25	6.1 13	1647.980	2 <sup>+</sup>			
3530.59	4 <sup>+</sup>	2137.08 <sup>#</sup> 4	100.0 25	1380.301	3 <sup>-</sup>	E1(+M2)	9.64×10 <sup>-4</sup> 16	δ: from 1992Ad04; -0.18≤δ≤+2.0.
		2770.12 <sup>#</sup> 8	16.0 6	747.174	2 <sup>+</sup>	M1+E2	0.00107 7	
		845.81 <sup>#</sup> 10	40 9	2684.714	(2 <sup>+</sup> )			
		852.28 <sup>#</sup> 12	42 10	2678.287	4 <sup>+</sup>			
		881.5 <sup>#</sup> 2	38.7 22	2649.59	(2 <sup>+</sup> )			
		998.7 <sup>#</sup> 3	4.9 14	2531.934	4 <sup>+</sup>			
		1017.08 <sup>#</sup> 16	18.8 23	2513.448	3 <sup>-</sup>			
		1260.89 <sup>#</sup> 9	25.7 19	2269.885	3 <sup>+</sup>			
		1447.12 <sup>#</sup> 9	100 19	2083.432	5 <sup>-</sup>			
		1484.72 <sup>#</sup> 8	88 4	2045.715	4 <sup>-</sup>	E1	7.07×10 <sup>-4</sup>	
3546.17	2 <sup>+</sup> ,3 <sup>+</sup>	2149.2 <sup>#</sup> 3	32 11	1381.287	4 <sup>+</sup>			
		1898.17 <sup>#</sup> 8	27 7	1647.980	2 <sup>+</sup>			
		2164.86 <sup>#</sup> 5	100 3	1381.287	4 <sup>+</sup>			

## Adopted Levels, Gammas (continued)

 $\gamma(^{146}\text{Sm})$  (continued)

$E_i(\text{level})$	$J_i^\pi$	$E_\gamma^\dagger$	$I_\gamma^b$	$E_f$	$J_f^\pi$	Mult. <sup>c</sup>	$\alpha^e$	Comments
3546.17	2 <sup>+</sup> ,3 <sup>+</sup>	2798.97# 6	64.7 20	747.174	2 <sup>+</sup>	M1+E2	0.00107 7	
3560.28		393.2@ 10	100@ 22	3166.91	8 <sup>-</sup>			
		460.8@ 2	98@ 28	3099.49	7 <sup>-</sup>			
3565.4		1753.75@ 35	100@	1811.674	6 <sup>+</sup>			
3567.47	9 <sup>+</sup>	401.0 5	2.4@ 6	3166.91	8 <sup>-</sup>			
		524.33@ 3	100@ 7	3043.13	8 <sup>+</sup>	M1	0.0191	
		830.6@ 3	≤22@	2737.16	8 <sup>+</sup>			
3568.4		2187.1@ 10	100@	1381.287	4 <sup>+</sup>			
3580.2	(4 <sup>+</sup> )	1496.8@ 3	100@	2083.432	5 <sup>-</sup>			
3583.85	4 <sup>-</sup>	399.81# 10	8.1 23	3183.928	3 <sup>+</sup>			
		569.11# 10	11 3	3014.624	3 <sup>+</sup>			
		783.96# 3	27.6 12	2799.89	3 <sup>+</sup>			
		1500.44# 3	73.6 23	2083.432	5 <sup>-</sup>	M1+E2	0.00139 22	
		2203.73# 3	100.0 23	1380.301	3 <sup>-</sup>	M1+E2	0.00100 8	$E_\gamma$ : poor fit; the level energy difference equals 2203.55 3. $\delta$ : from 1992Ad04; +4.6 +19-12 or +0.43 +8-9.
3591.74	(4 <sup>+</sup> )	534.1# 2	100 6	3058.09				
		1190.1# 3	76.3 24	2400.92	2 <sup>+</sup>			
		1944.3# 3	9.6 23	1647.980	2 <sup>+</sup>			
		2210.35# 6	71.3 26	1381.287	4 <sup>+</sup>			
		2845.0# 3	1.2 4	747.174	2 <sup>+</sup>			
3593.2		2212.9@ 10	100@	1380.301	3 <sup>-</sup>			
3594.89		1783.2@ 2	100@	1811.674	6 <sup>+</sup>			
3605.83	3 <sup>-</sup>	422.3# 3	30 9	3183.928	3 <sup>+</sup>			
		1166.67# 10	39 7	2439.071	4 <sup>+</sup>			
		1336.01# 9	100 7	2269.885	3 <sup>+</sup>			
		2858.2# 3	4.6 11	747.174	2 <sup>+</sup>			
3620.0		1808.35@ 25	100@	1811.674	6 <sup>+</sup>			
3626.046	4 <sup>+</sup>	532.87# 7	41.4 25	3093.122	3 <sup>+</sup>	E2	0.01085	
		611.46# 25	4.7 13	3014.624	3 <sup>+</sup>			
		826.32# 12	4.3 6	2799.89	3 <sup>+</sup>	E2,M1	0.0050 13	
		941.30# 3	50.2 16	2684.714	(2 <sup>+</sup> )			
		1094.11# 6	18 7	2531.934	4 <sup>+</sup>			
		1186.98# 10	9.8 6	2439.071	4 <sup>+</sup>			
		1225.39# 11	4.2 4	2400.92	2 <sup>+</sup>			
		1345.176# 22	48.9 13	2280.902	4 <sup>+</sup>	M1+E2	0.0017 3	$\delta$ : from 1992Ad04; $-0.16 \leq \delta \leq 1.3$ .

Adopted Levels, Gammas (continued)

$E_i(\text{level})$	$J_i^\pi$	$E_\gamma^\dagger$	$I_\gamma^b$	$E_f$	$J_f^\pi$	$\gamma(^{146}\text{Sm})$ (continued)			Comments
						Mult. <sup>c</sup>	$\delta^{df}$	$\alpha^e$	
3626.046	4 <sup>+</sup>	1356.145 <sup>#</sup> 17	100 2	2269.885	3 <sup>+</sup>	M1+E2	+0.05 +7-8	0.00196	$\delta$ : from 1992Ad04; the 2 <sup>nd</sup> value -6.9 +24-79.
		1470.21 <sup>#</sup> 4	6.2 19	2155.824	2 <sup>+</sup>				
		1542.56 <sup>#</sup> 3	33.0 9	2083.432	5 <sup>-</sup>				
		1580.16 <sup>#</sup> 18	4.0 5	2045.715	4 <sup>-</sup>				
		1978.20 <sup>#</sup> 6	16.0 6	1647.980	2 <sup>+</sup>				
		2244.71 <sup>#</sup> 4	50.2 13	1381.287	4 <sup>+</sup>				
		2878.76 <sup>#</sup> 10	2.02 16	747.174	2 <sup>+</sup>				
3633.5		1033.1 <sup>@</sup> 10	100 <sup>@</sup>	2600.38	7 <sup>-</sup>				
3646.99	(2 <sup>+</sup> ,3,4 <sup>+</sup> )	553.8 <sup>#</sup> 10	1.0×10 <sup>2</sup> 3	3093.122	3 <sup>+</sup>				
		1491.16 <sup>#</sup> 3	100 12	2155.824	2 <sup>+</sup>				
3652.22	(3 <sup>-</sup> ),4 <sup>+</sup>	1371.33 <sup>#</sup> 10	20 8	2280.902	4 <sup>+</sup>				
		1496.39 <sup>#</sup> 10	25 8	2155.824	2 <sup>+</sup>				
		1568.93 <sup>#</sup> 10	97 13	2083.432	5 <sup>-</sup>				
		2004.25 <sup>#</sup> 11	76 6	1647.980	2 <sup>+</sup>				
		2904.87 <sup>#</sup> 9	100 6	747.174	2 <sup>+</sup>	E2		1.04×10 <sup>-3</sup>	
3654.19	(2 <sup>+</sup> ,3,4 <sup>+</sup> )	415.52 <sup>#</sup> 16	27 9	3238.646	4 <sup>+</sup>				
		1110.03 <sup>#</sup> 16	100 14	2544.18	2 <sup>+</sup>				
		1373.29 <sup>#</sup> 15	64 23	2280.902	4 <sup>+</sup>				
		1498.35 <sup>#</sup> 14	36 10	2155.824	2 <sup>+</sup>				
		2906.99 <sup>#</sup> 13	70 10	747.174	2 <sup>+</sup>				
3669.78		1069.4 <sup>@</sup> 2	100 <sup>@</sup>	2600.38	7 <sup>-</sup>				
3685.3		1084.9 <sup>@</sup> 10	100 <sup>@</sup>	2600.38	7 <sup>-</sup>				
3693.44	(2 <sup>+</sup> ,3,4 <sup>+</sup> )	1161.75 <sup>#</sup> 14	100 12	2531.934	4 <sup>+</sup>				
		2946.10 <sup>#</sup> 10	65 7	747.174	2 <sup>+</sup>				
3701.09	(7 <sup>-</sup> ,8,9)	346.5 <sup>@</sup> 10	100 <sup>@</sup> 25	3354.64	9 <sup>-</sup>				
		534.20 <sup>@</sup> 12	34 <sup>@</sup> 8	3166.91	8 <sup>-</sup>				
		657.85 <sup>@</sup> 25	58 <sup>@</sup> 11	3043.13	8 <sup>+</sup>				
3715.62		2968.41 <sup>#</sup> 18	100 <sup>@</sup>	747.174	2 <sup>+</sup>				
3720.53	3 <sup>-</sup>	653.0 <sup>#</sup> 3	100 30	3067.703	3 <sup>+</sup>				
		2072.50 <sup>#</sup> 15	32 4	1647.980	2 <sup>+</sup>				
		2973.38 <sup>#</sup> 4	3.3 <sup>g</sup> 8	747.174	2 <sup>+</sup>				
3740.78	(3,4 <sup>+</sup> )	1208.82 <sup>#</sup> 8	99 6	2531.934	4 <sup>+</sup>				
		2360.49 <sup>#</sup> 14	100 6	1380.301	3 <sup>-</sup>				
		2993.61 <sup>#</sup> 24	6.7 7	747.174	2 <sup>+</sup>				
3749.43	(3 <sup>-</sup> ,4 <sup>+</sup> )	1667.0 <sup>#</sup> 7	100 43	2083.432	5 <sup>-</sup>				

## Adopted Levels, Gammas (continued)

$\gamma(^{146}\text{Sm})$ (continued)								
$E_i(\text{level})$	$J_i^\pi$	$E_\gamma$ †	$I_\gamma$ <sup>b</sup>	$E_f$	$J_f^\pi$	Mult. <sup>c</sup>	$\alpha^e$	Comments
3749.43	(3 <sup>-</sup> ,4 <sup>+</sup> )	2368.93 <sup>#</sup> 22	56 6	1380.301	3 <sup>-</sup>			
		3002.24 <sup>#</sup> 12	44.3 21	747.174	2 <sup>+</sup>			
3753.57	10 <sup>-</sup>	955.90 3	100 <sup>@</sup>	2797.67	9 <sup>-</sup>	M1	0.00438	
3766.9		1166.5 <sup>@</sup> 10	100 <sup>@</sup>	2600.38	7 <sup>-</sup>			
3770.32	2 <sup>+</sup>	372.67 <sup>#</sup> 23	1.0×10 <sup>2</sup> 3	3397.62	(4 <sup>+</sup> )			
		749.8 <sup>#</sup> 15	70 7	3020.6	0 <sup>+</sup>			
		838.02 <sup>#</sup> 15	6.9 14	2932.33	(4 <sup>+</sup> )			
		2389.00 <sup>#</sup> 17	80.3 14	1381.287	4 <sup>+</sup>			
3774.66	10 <sup>+</sup>	207.16 7	100 <sup>@</sup> 4	3567.47	9 <sup>+</sup>	E2+M1	0.202 17	
		731.56 15	36 <sup>@</sup> 3	3043.13	8 <sup>+</sup>			
3783.47	11 <sup>-</sup>	985.85 <sup>@</sup> 7	100 <sup>@</sup>	2797.67	9 <sup>-</sup>	E2	0.00256	B(E2)(W.u.)=1.3 +4-6
3786.03	(2 <sup>+</sup> ,3,4 <sup>+</sup> )	1385.6 <sup>#</sup> 3	100 3	2400.92	2 <sup>+</sup>			
		2404.74 <sup>#</sup> 22	21.4 19	1381.287	4 <sup>+</sup>			
		3038.50 <sup>#</sup> 23	1.53 17	747.174	2 <sup>+</sup>			
3790.06	3 <sup>-</sup> ,4 <sup>-</sup>	606.22 <sup>#</sup> 22	100 24	3183.928	3 <sup>+</sup>			
		1565.02 <sup>#</sup> 20	≤71	2225.00	(2 <sup>+</sup> )			
		3042.85 <sup>#</sup> 8	15 3	747.174	2 <sup>+</sup>			
3800.7		1989.0 <sup>@</sup> 10	100 <sup>@</sup>	1811.674	6 <sup>+</sup>			
3804.25	(3 <sup>-</sup> ,4,5 <sup>+</sup> )	544.32 <sup>#</sup> 13	1.0×10 <sup>2</sup> 4	3259.934	5 <sup>-</sup>			
		736.55 <sup>#</sup> 11	57 6	3067.703	3 <sup>+</sup>			
		1063.6 <sup>#</sup> 7	6.4 21	2740.7				
		1198.3 <sup>#</sup> 10	6 5	2605.11				
3809.6		766.5 <sup>@</sup> 10	100	3043.13	8 <sup>+</sup>			
3815.2		1078.0 <sup>@</sup> 10	100	2737.16	8 <sup>+</sup>			
3825.5		1027.8 <sup>@</sup> 10	100	2797.67	9 <sup>-</sup>			
3869.7		2058.0 <sup>@</sup> 10	100	1811.674	6 <sup>+</sup>			
3924.49	(9 <sup>-</sup> )	171.10 45	22 5	3753.57	10 <sup>-</sup>			
		569.83 7	98 15	3354.64	9 <sup>-</sup>	D		
		757.62 10	100 11	3166.91	8 <sup>-</sup>	D+Q		
3963.4		2151.7 <sup>@</sup> 10	100	1811.674	6 <sup>+</sup>			
3970.25		1172.57 <sup>@</sup> 14	100	2797.67	9 <sup>-</sup>			
3990.3	(3 <sup>-</sup> ),4 <sup>-</sup>	650.0 <sup>@</sup> 10	100	3340.26	(5 <sup>-</sup> ,6 <sup>-</sup> )			
4005.7		1208.0 <sup>@</sup> 10		2797.67	9 <sup>-</sup>			
		1268.5 <sup>@</sup> 10		2737.16	8 <sup>+</sup>			
4032.4		833.55 <sup>@</sup> 15	100	3198.84				

## Adopted Levels, Gammas (continued)

$\gamma(^{146}\text{Sm})$ (continued)								
$E_i(\text{level})$	$J_i^\pi$	$E_\gamma^\dagger$	$I_\gamma^b$	$E_f$	$J_f^\pi$	Mult. <sup>c</sup>	$\alpha^e$	Comments
4033.5	(11 <sup>+</sup> )	259.0 & 5		3774.66	10 <sup>+</sup>			
		466.0 & 5		3567.47	9 <sup>+</sup>			
4080.14		725.5 @ 2	100	3354.64	9 <sup>-</sup>			
4091.25	11 <sup>-</sup>	167.0 & 5		3924.49	(9 <sup>-</sup> )			
		308.0 5		3783.47	11 <sup>-</sup>			
		736.8 3	100 10	3354.64	9 <sup>-</sup>	E2	0.00489	B(E2)(W.u.)=6.8 +20-23
		1293.57 @ 3	71 7	2797.67	9 <sup>-</sup>	E2	1.49×10 <sup>-3</sup>	B(E2)(W.u.)=0.29 +9-10
4125.99		771.35 @ 10	100	3354.64	9 <sup>-</sup>			
4127.8		1390.6 @ 10	100	2737.16	8 <sup>+</sup>			
4135.7		1398.5 @ 10	100	2737.16	8 <sup>+</sup>			
4143.89	(10 <sup>-</sup> ,11 <sup>-</sup> )	1346.17 19	100	2797.67	9 <sup>-</sup>			
4145.3	(10 <sup>+</sup> )	1408.1 5	100	2737.16	8 <sup>+</sup>			
4164.5		1121.4 @ 10	100	3043.13	8 <sup>+</sup>			
4194.90	12 <sup>+</sup>	411.40 15	100 & 17	3783.47	11 <sup>-</sup>	(E1)	0.00678	B(E1)(W.u.)=0.00033 10
		1397.0 & 5	0.68 & 12	2797.67	9 <sup>-</sup>	E3	0.00247	B(E3)(W.u.)=60 17
4202.21	(11 <sup>+</sup> )	427.53 @ 5	100	3774.66	10 <sup>+</sup>	(M1+E2)	0.026 7	
4239.3		948.6 @ 2	100	3290.7	8 <sup>+</sup>			
4282.32		1545.15 @ 15	100	2737.16	8 <sup>+</sup>			
4341.15	(11 <sup>-</sup> )	250.00 18	80 8	4091.25	11 <sup>-</sup>	D		
		558.1 @ 2	100 70	3783.47	11 <sup>-</sup>			
		566.0 & 5		3774.66	10 <sup>+</sup>			
		1543.0 & 5		2797.67	9 <sup>-</sup>			
4461.34	(12 <sup>-</sup> )	120.43 18	18 2	4341.15	(11 <sup>-</sup> )	(M1+E2)	1.10 11	
		259.13 @ 3	9 5	4202.21	(11 <sup>+</sup> )	E1	0.0214	B(E1)(W.u.)>0.00013
		317.0 & 5		4143.89	(10 <sup>-</sup> ,11 <sup>-</sup> )			
		370.08 7	100 8	4091.25	11 <sup>-</sup>	M1	0.0466	B(M1)(W.u.)>0.045
		428.0 & 5		4033.5	(11 <sup>+</sup> )			
		678.0 @ 3	15 5	3783.47	11 <sup>-</sup>			
4579.75	(12 <sup>-</sup> )	238.62 10	100	4341.15	(11 <sup>-</sup> )	D		
		436.0 & 5		4143.89	(10 <sup>-</sup> ,11 <sup>-</sup> )			
4628.77	13 <sup>-</sup>	167.43 3	100 17	4461.34	(12 <sup>-</sup> )	(M1+E2)	0.388 9	
		433.0 & 5		4194.90	12 <sup>+</sup>	(E1)	0.00601	
		537.5 1	58 6	4091.25	11 <sup>-</sup>	E2	0.01060	B(E2)(W.u.)=15 7
4752.24	(13 <sup>-</sup> )	172.52 10	36 5	4579.75	(12 <sup>-</sup> )	(M1+E2)	0.353 11	
		290.89 10	100 10	4461.34	(12 <sup>-</sup> )	D		
		969.0 & 5		3783.47	11 <sup>-</sup>			
4969.51	(14 <sup>-</sup> )	217.29 10	17 2	4752.24	(13 <sup>-</sup> )	D		

Adopted Levels, Gammas (continued)

<u><math>\gamma(^{146}\text{Sm})</math> (continued)</u>							
$E_i(\text{level})$	$J_i^\pi$	$E_\gamma^\dagger$	$I_\gamma^b$	$E_f$	$J_f^\pi$	Mult. <sup>c</sup>	$\alpha^e$
4969.51	(14 <sup>-</sup> )	340.7 1	100 10	4628.77	13 <sup>-</sup>	D	
5129.47	13 <sup>-</sup>	1346.0@ 1	100	3783.47	11 <sup>-</sup>	E2	1.39×10 <sup>-3</sup>
5144.2		392.0& 5	100	4752.24	(13 <sup>-</sup> )		
5206.29	14 <sup>+</sup>	1011.39 1	100	4194.90	12 <sup>+</sup>	E2	0.00243
5218.03	(15 <sup>-</sup> )	248.5 1	100 10	4969.51	(14 <sup>-</sup> )	M1	0.1338
		589.26 18	44 8	4628.77	13 <sup>-</sup>		
5517.42	(16 <sup>-</sup> )	299.39 10	100 10	5218.03	(15 <sup>-</sup> )	(M1+E2)	0.069 13
		547.91 18	35 5	4969.51	(14 <sup>-</sup> )	E2	0.01009
5613.93	(15 <sup>-</sup> )	644.42 12	100	4969.51	(14 <sup>-</sup> )	(M1+E2)	0.0091 24
5697.18	(16 <sup>+</sup> )	479.07 26	100 30	5218.03	(15 <sup>-</sup> )		
		490.9 1	76 8	5206.29	14 <sup>+</sup>	E2	0.01347
5800.2		656.0& 5	100&	5144.2			
5873.0		259.1 12	100	5613.93	(15 <sup>-</sup> )		
5972.3		454.9@ 3	100	5517.42	(16 <sup>-</sup> )		
6176.9	(18 <sup>+</sup> )	479.71 26	100	5697.18	(16 <sup>+</sup> )		

<sup>†</sup> Weighted average, except as noted.

<sup>‡</sup> Not taken in to account in a least-squares fitting.

# From <sup>146</sup>Eu  $\varepsilon+\beta^+$  decay.

@ From <sup>144</sup>Nd( $\alpha$ ,xn $\gamma$ ).

& From <sup>139</sup>La(<sup>11</sup>B,4n $\gamma$ ).

<sup>a</sup> Unweighted average.

<sup>b</sup> From <sup>146</sup>Eu  $\varepsilon+\beta^+$  decay to the energy levels <3809 keV and from ( $\alpha$ ,xn) reaction above this energy, unless otherwise stated.

<sup>c</sup> From  $\alpha(\text{exp})$ ,  $\gamma(\theta)$  at oriented nuclei,  $\gamma\gamma(\theta)$  and RUL.

<sup>d</sup> From  $\gamma(\theta)$  in <sup>146</sup>Eu  $\varepsilon+\beta^+$  decay and  $\gamma(\theta)$  in Nd( $\alpha$ ,xn $\gamma$ ).

<sup>e</sup> [Additional information 1](#).

<sup>f</sup> If No value given it was assumed  $\delta=1.00$  for E2/M1 and  $\delta=0.10$  for the other multiplicities.

<sup>g</sup> Multiply placed with undivided intensity.

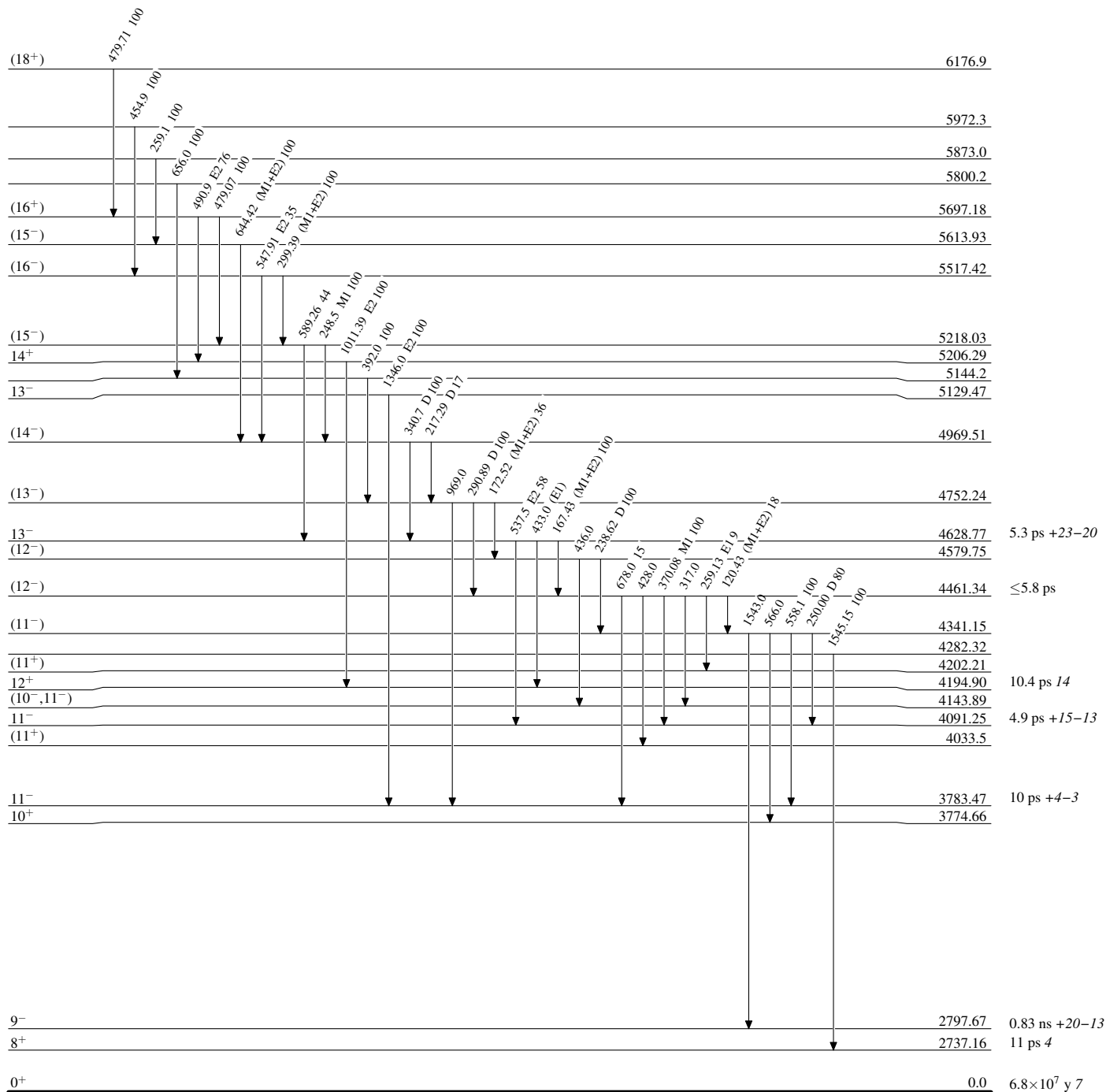
<sup>h</sup> Multiply placed with intensity suitably divided.

<sup>i</sup> Placement of transition in the level scheme is uncertain.

**Adopted Levels, Gammas**

Level Scheme

Intensities: Relative photon branching from each level

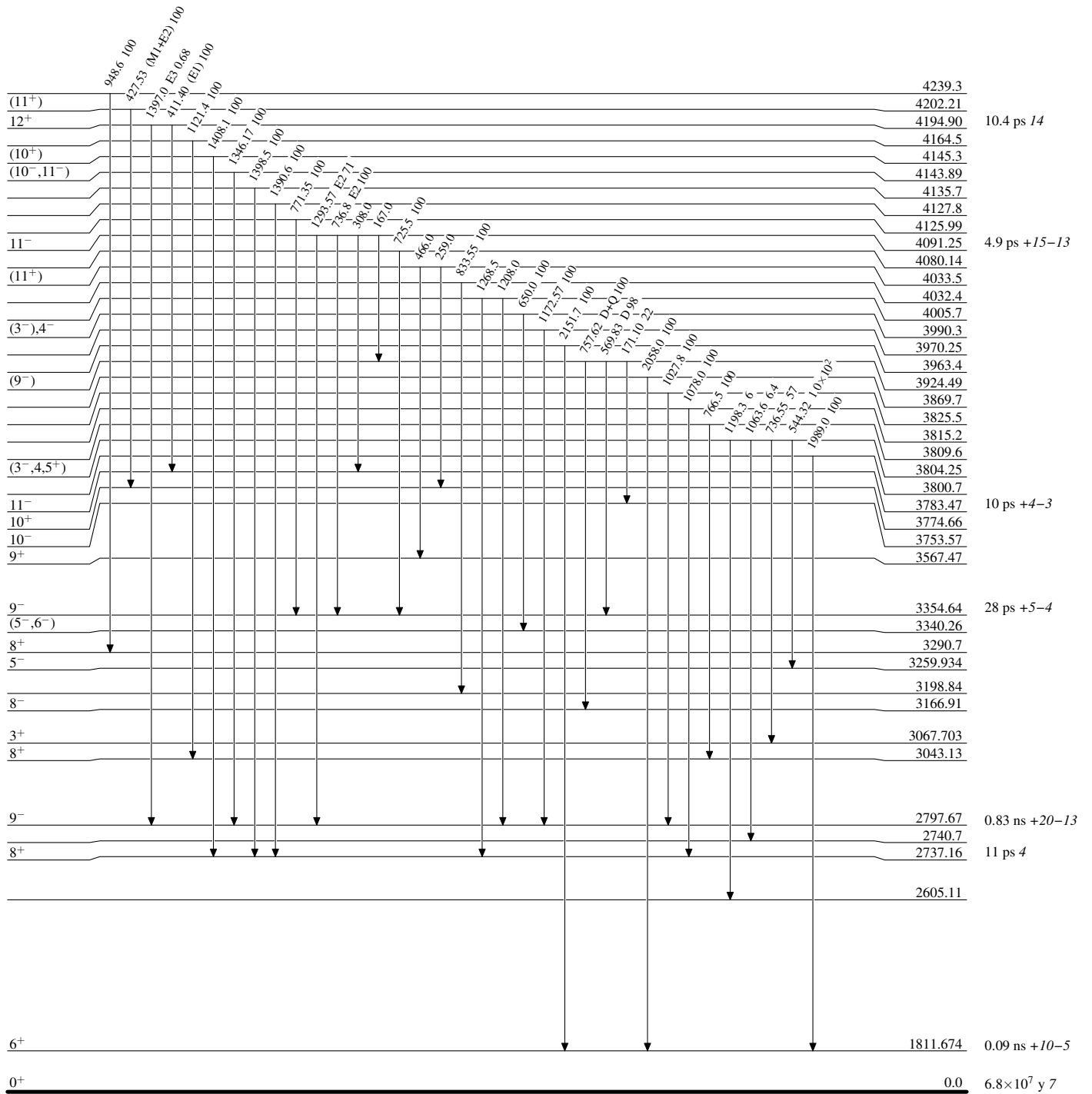


$^{146}_{62}\text{Sm}_{84}$

**Adopted Levels, Gammas**

**Level Scheme (continued)**

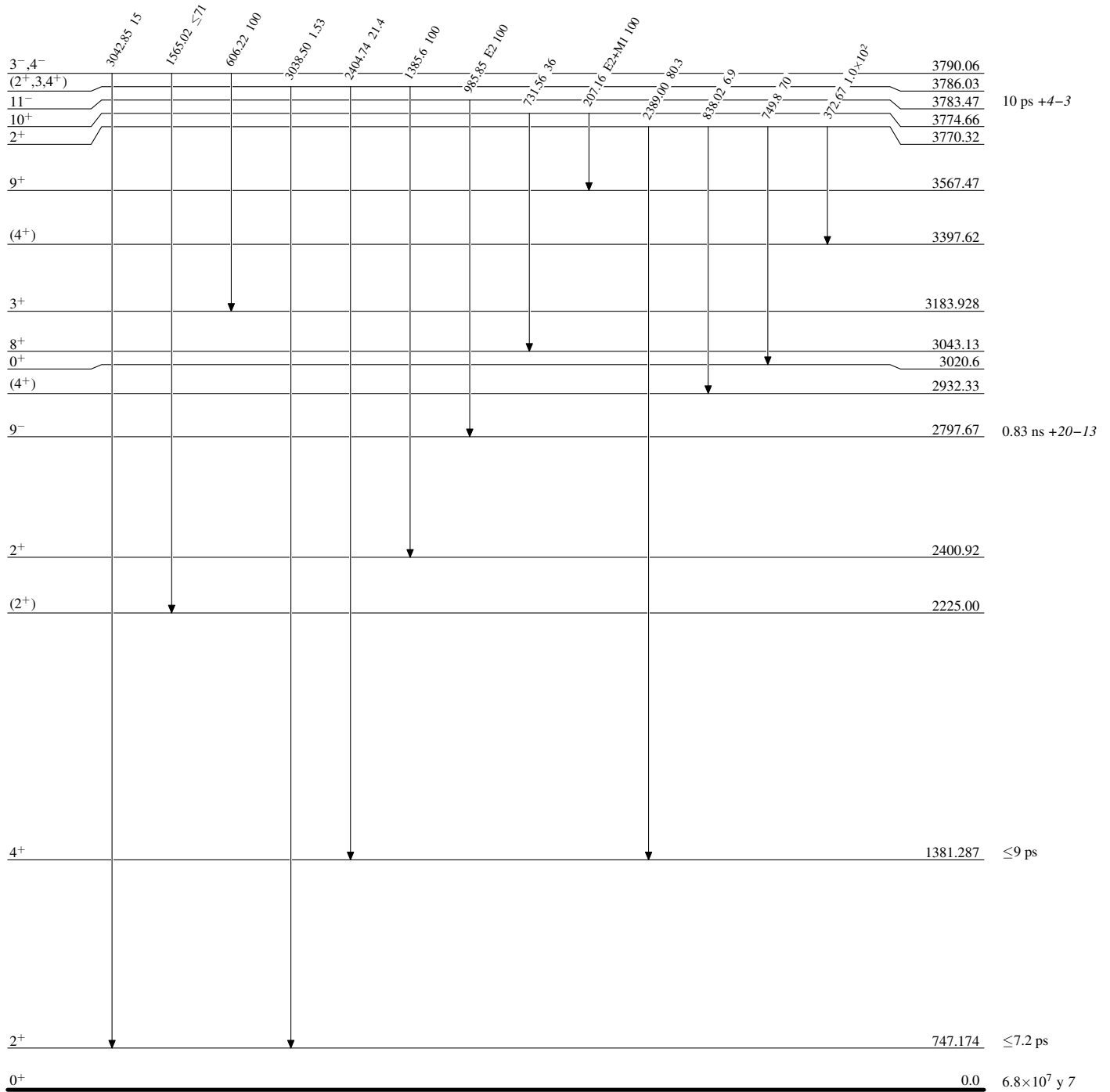
Intensities: Relative photon branching from each level





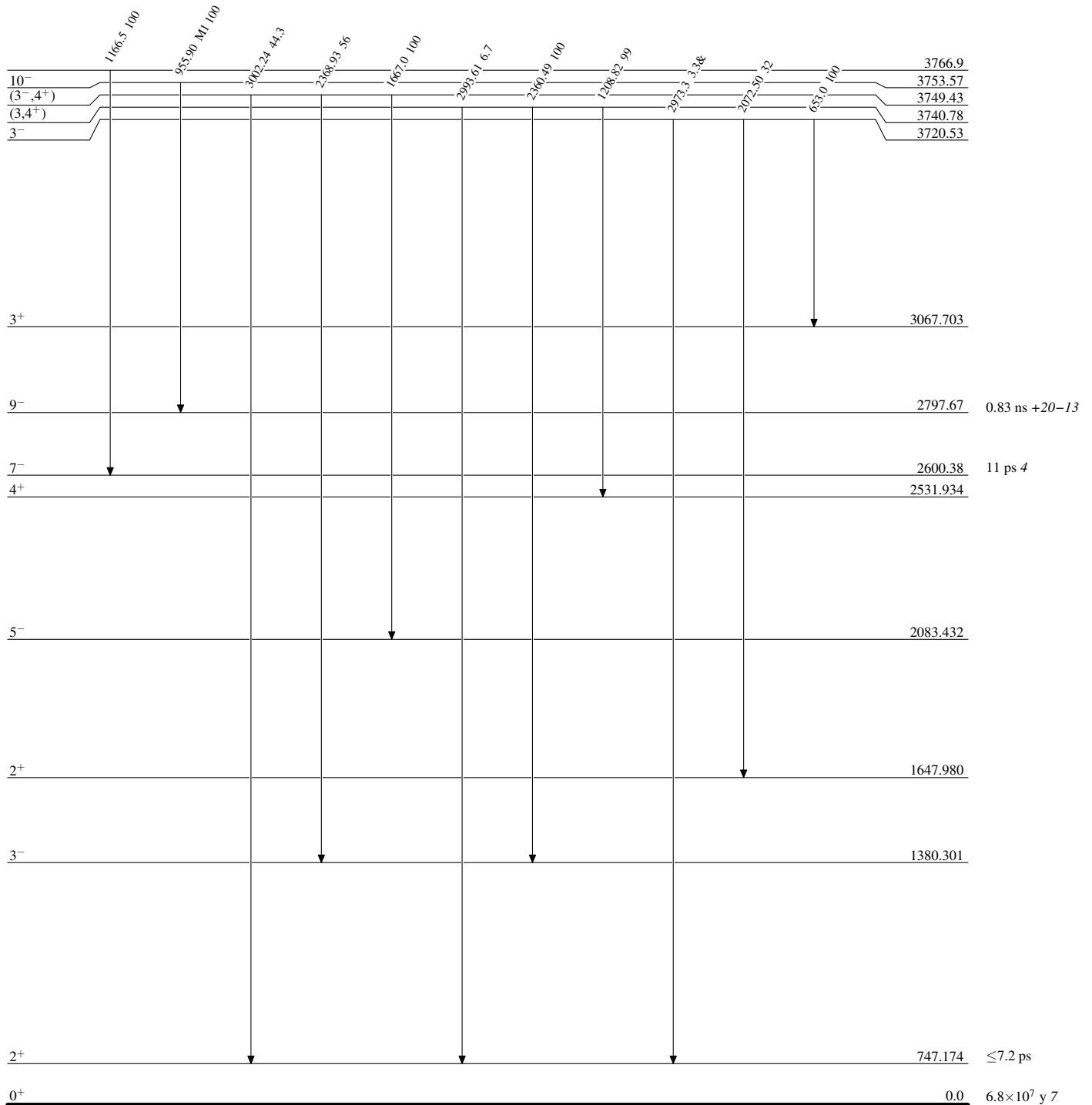
**Adopted Levels, Gammas****Level Scheme (continued)**

Intensities: Relative photon branching from each level

 $^{146}_{62}\text{Sm}_{84}$

Adopted Levels, GammasLevel Scheme (continued)

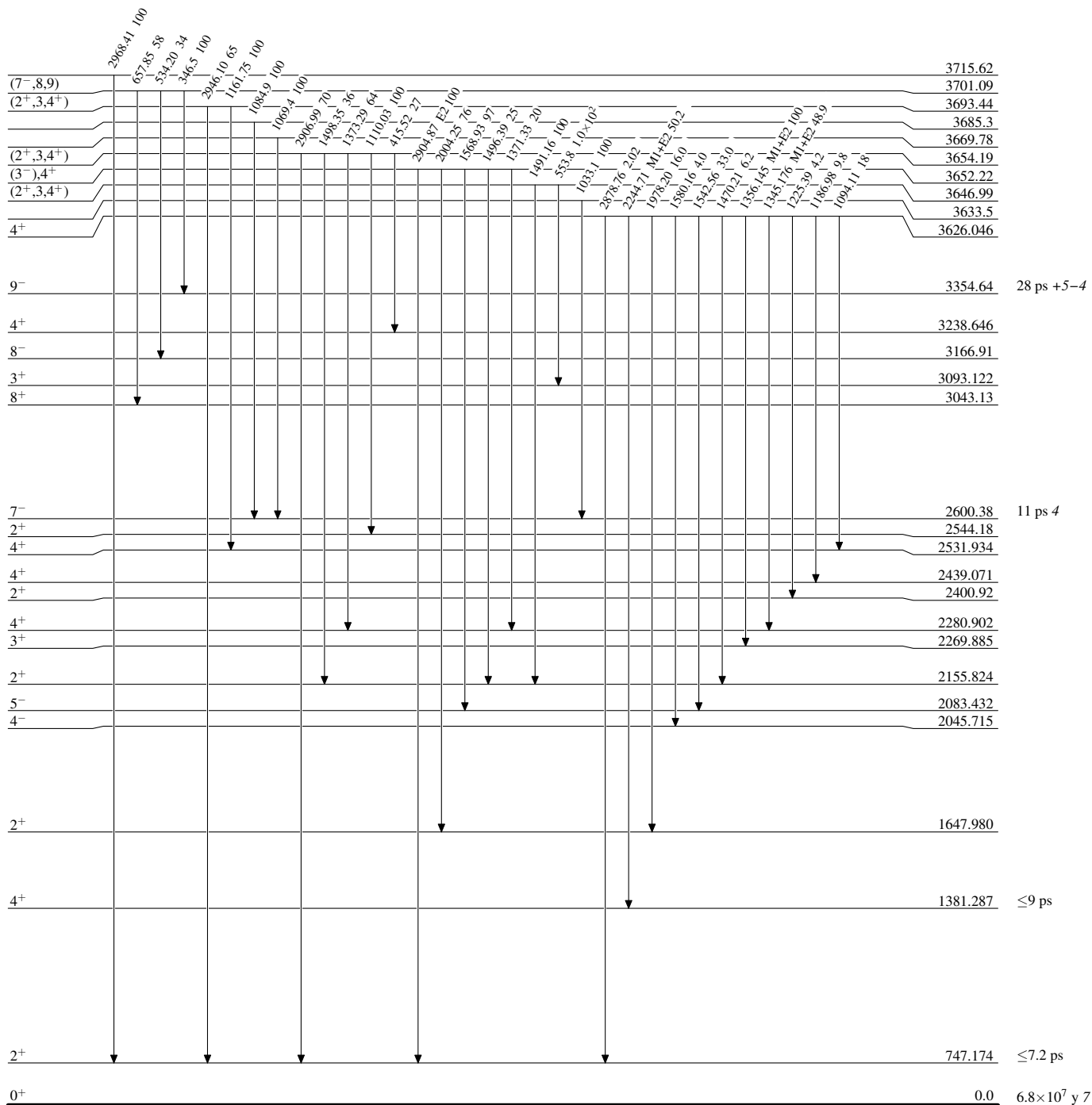
Intensities: Relative photon branching from each level  
& Multiply placed: undivided intensity given

 $^{146}_{62}\text{Sm}_{84}$

**Adopted Levels, Gammas**

**Level Scheme (continued)**

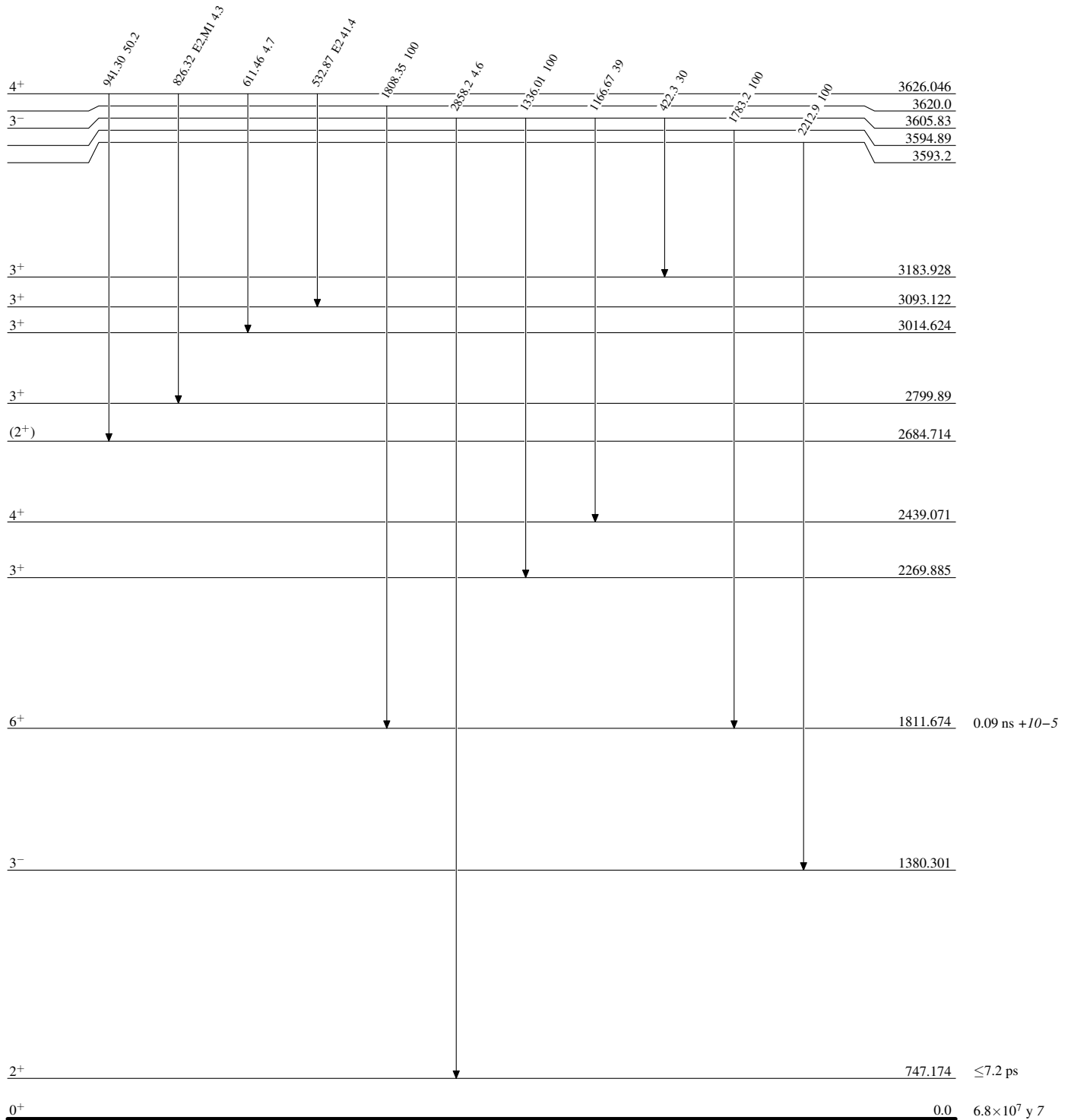
Intensities: Relative photon branching from each level  
& Multiply placed: undivided intensity given



$^{146}_{62}\text{Sm}_{84}$

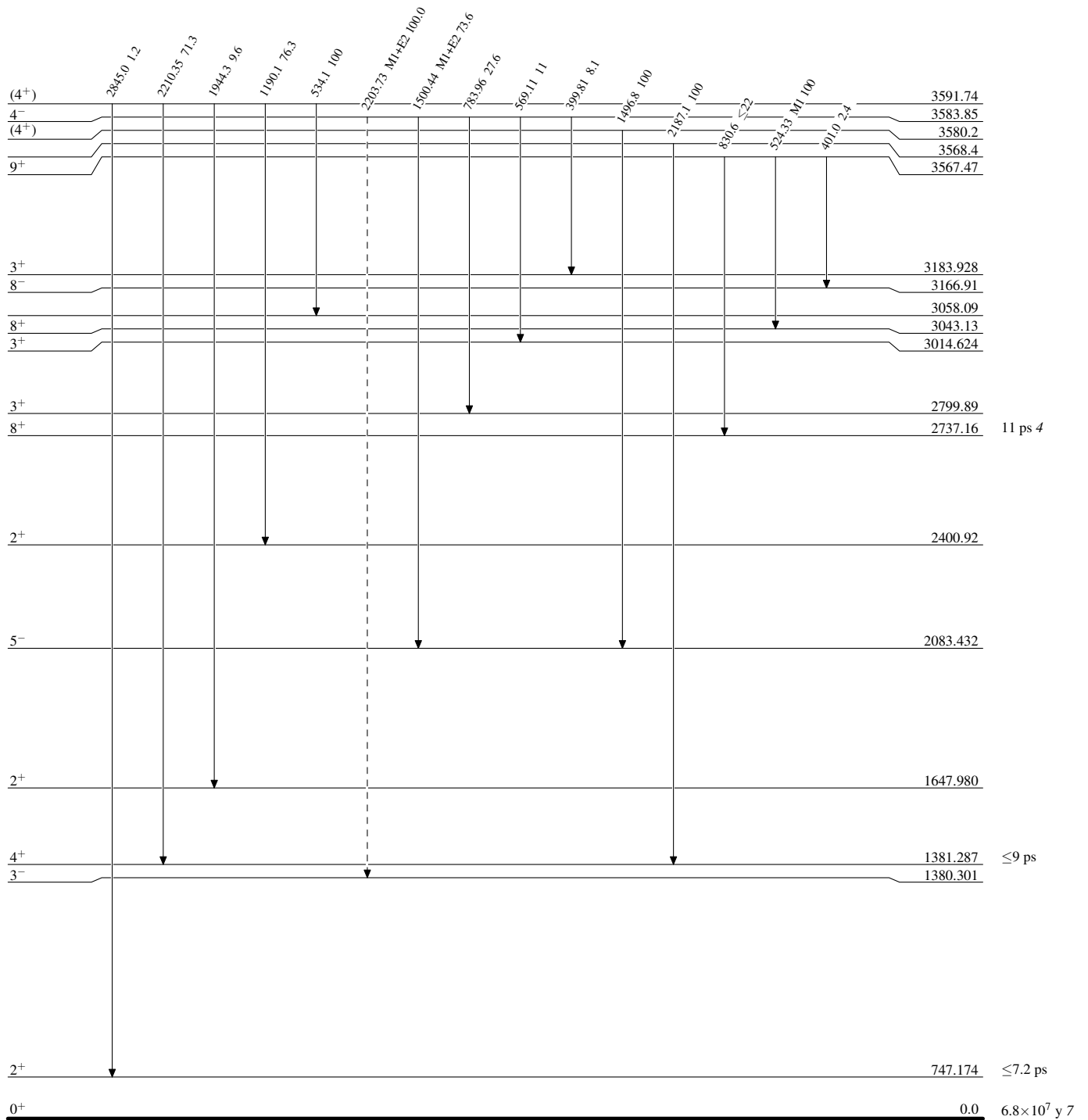
Adopted Levels, GammasLevel Scheme (continued)

Intensities: Relative photon branching from each level  
& Multiply placed: undivided intensity given



**Adopted Levels, Gammas**

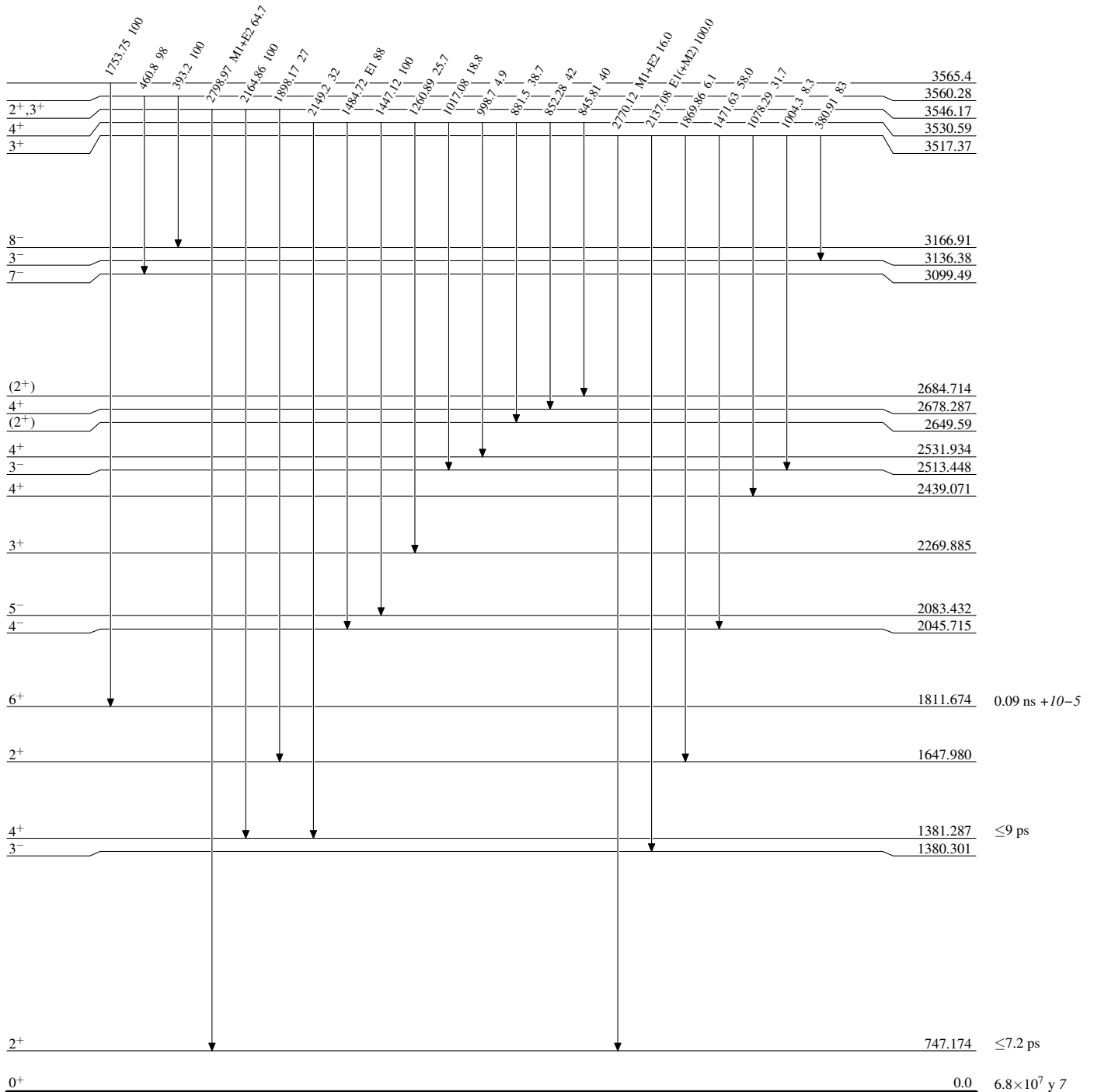
Legend

**Level Scheme (continued)**Intensities: Relative photon branching from each level  
& Multiply placed: undivided intensity given-----▶  $\gamma$  Decay (Uncertain) $^{146}_{62}\text{Sm}_{84}$

**Adopted Levels, Gammas**

Level Scheme (continued)

Intensities: Relative photon branching from each level  
& Multiply placed: undivided intensity given

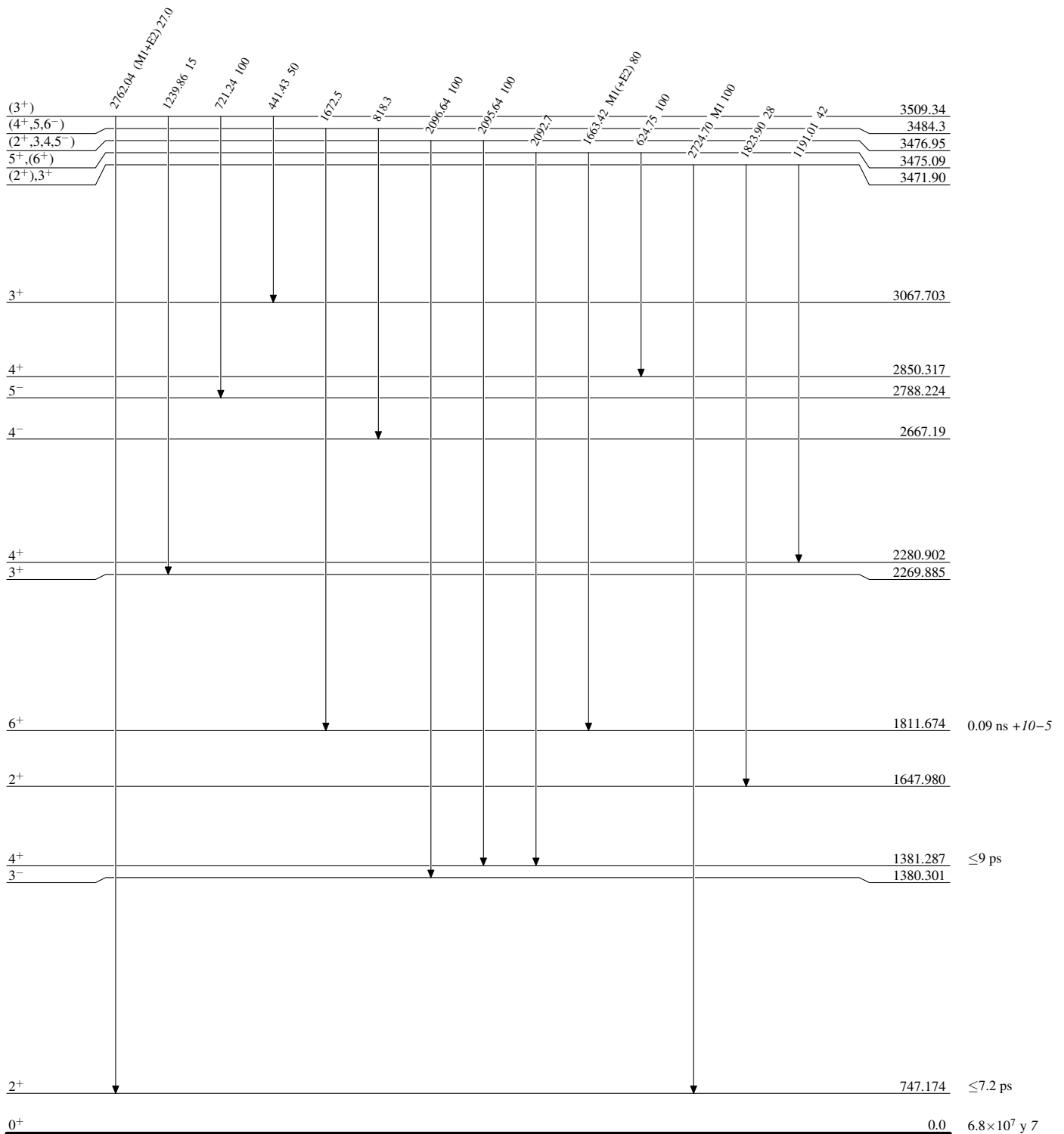


$^{146}_{62}\text{Sm}_{84}$

**Adopted Levels, Gammas**

**Level Scheme (continued)**

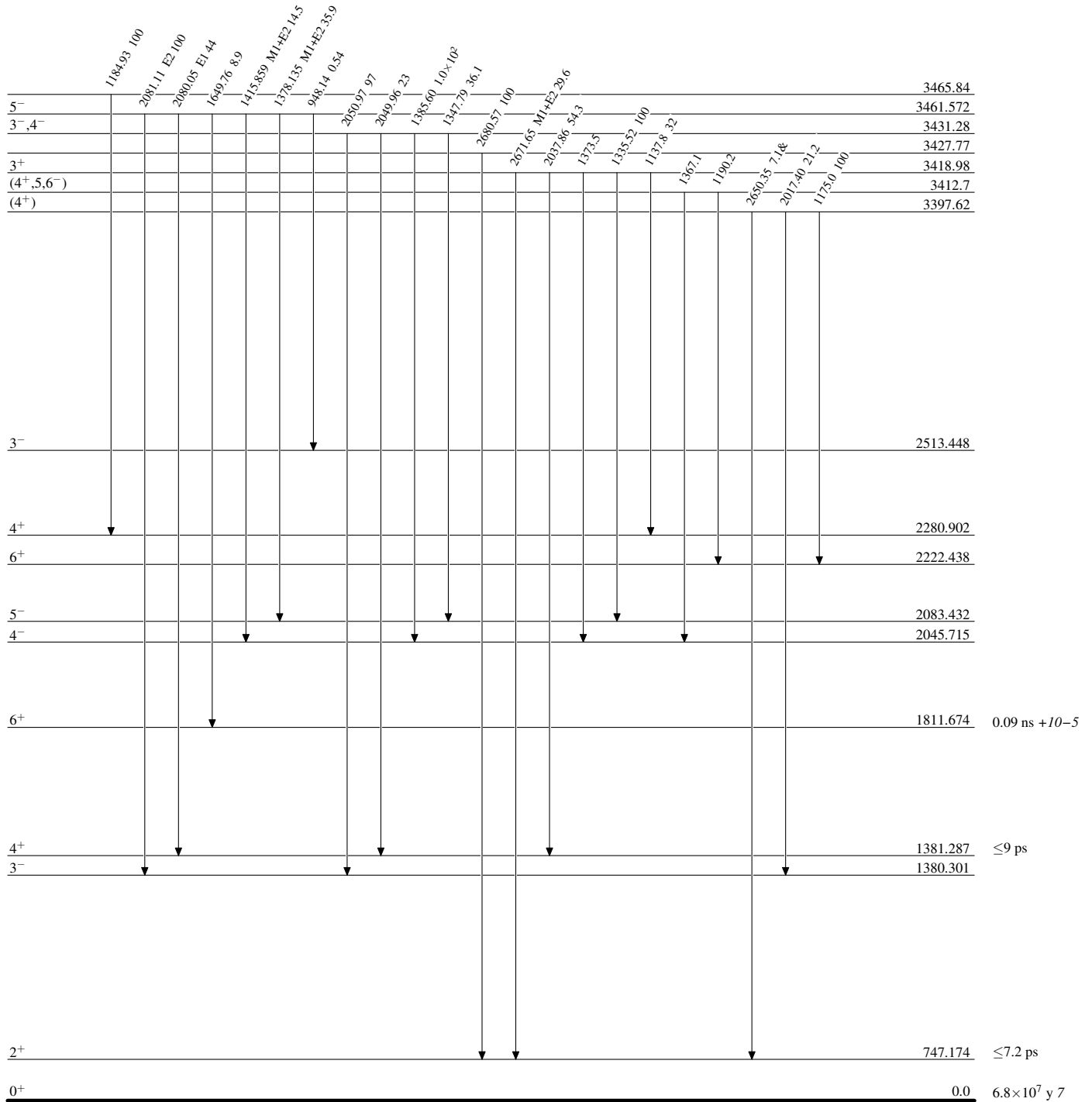
Intensities: Relative photon branching from each level  
& Multiply placed: undivided intensity given



**Adopted Levels, Gammas**

**Level Scheme (continued)**

Intensities: Relative photon branching from each level  
& Multiply placed: undivided intensity given



$^{146}_{62}\text{Sm}_{84}$



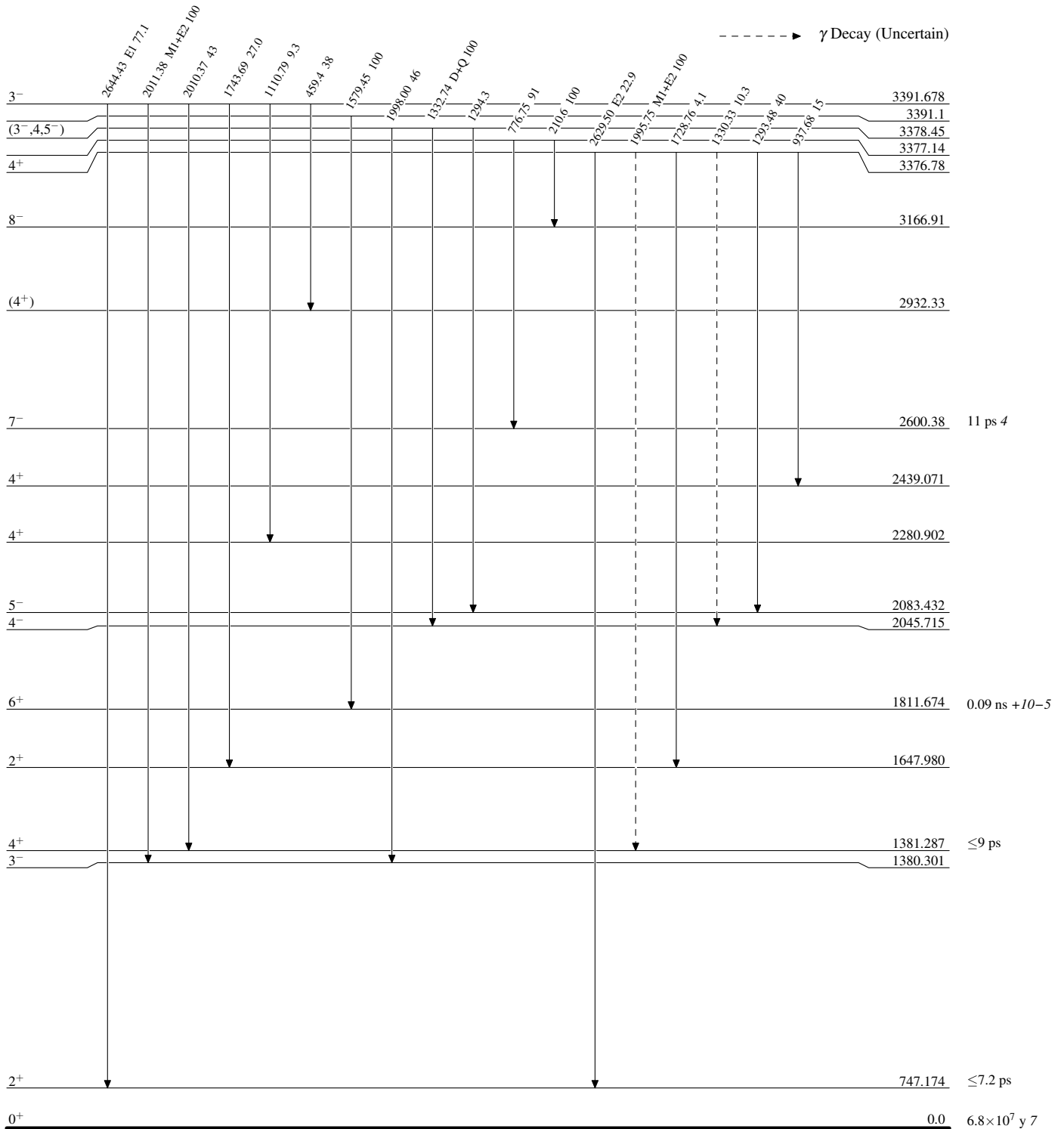
**Adopted Levels, Gammas**

**Level Scheme (continued)**

Intensities: Relative photon branching from each level  
& Multiply placed: undivided intensity given

Legend

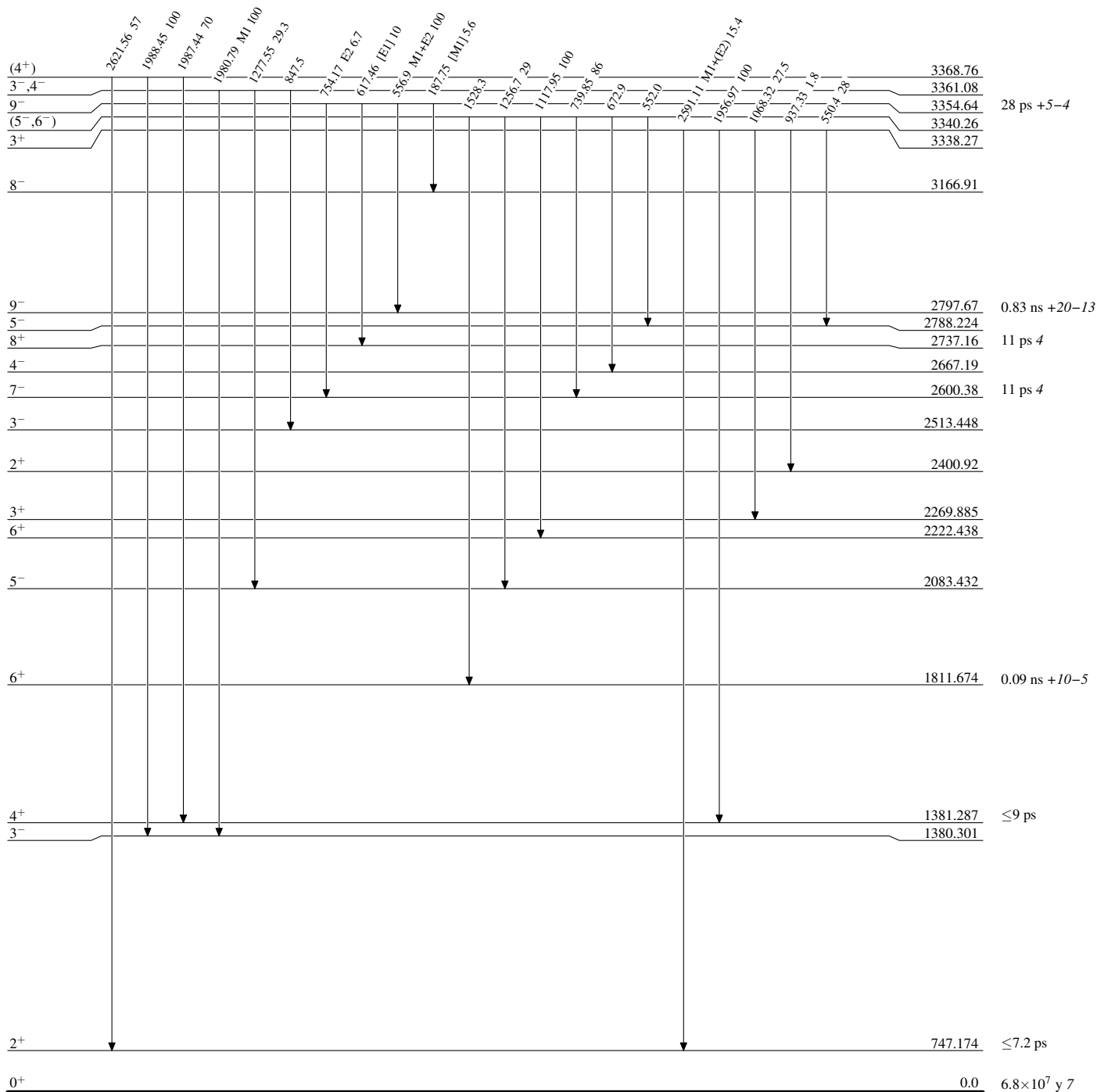
-----▶  $\gamma$  Decay (Uncertain)



**Adopted Levels, Gammas**

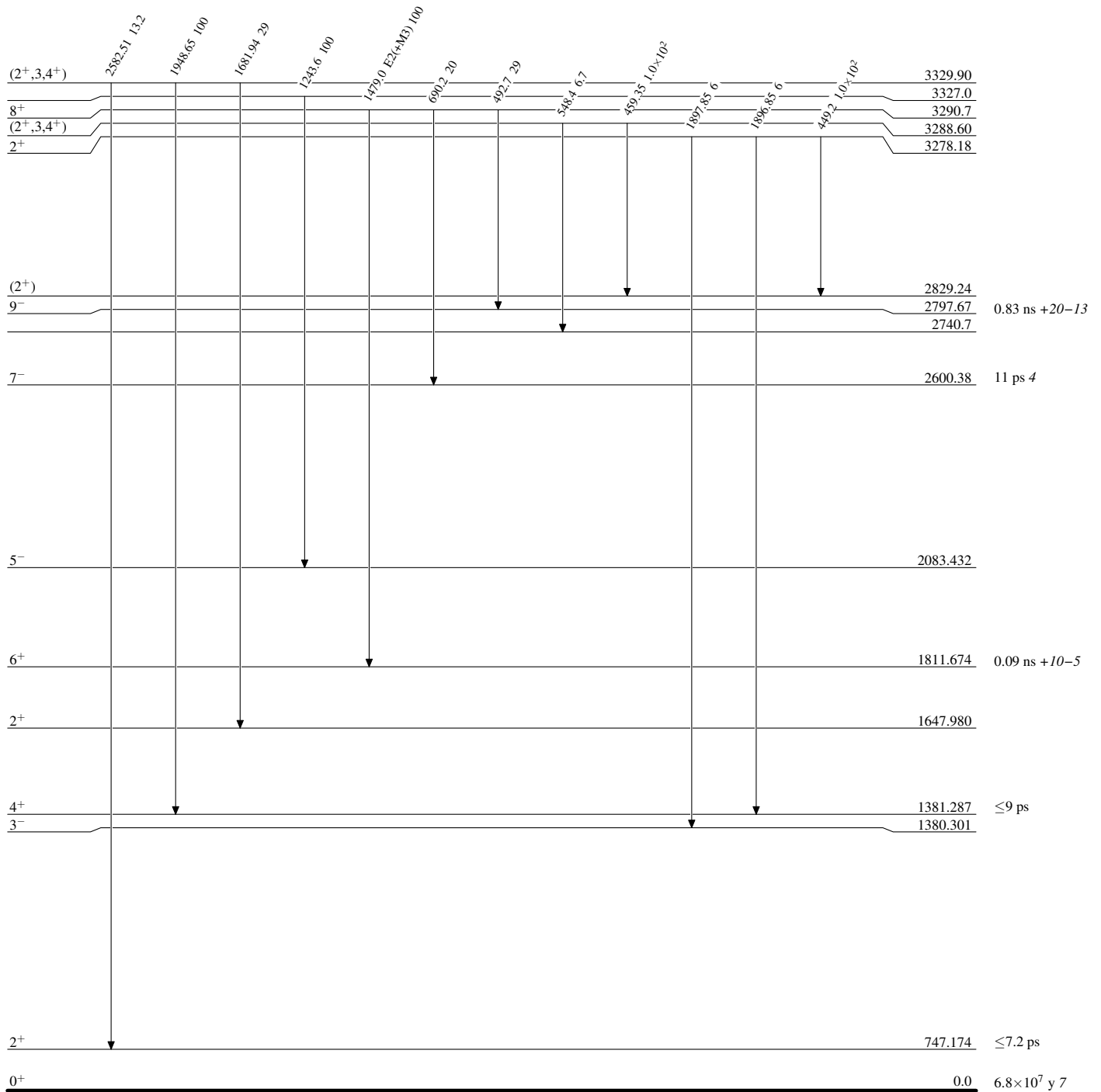
**Level Scheme (continued)**

Intensities: Relative photon branching from each level  
& Multiply placed: undivided intensity given



**Adopted Levels, Gammas****Level Scheme (continued)**

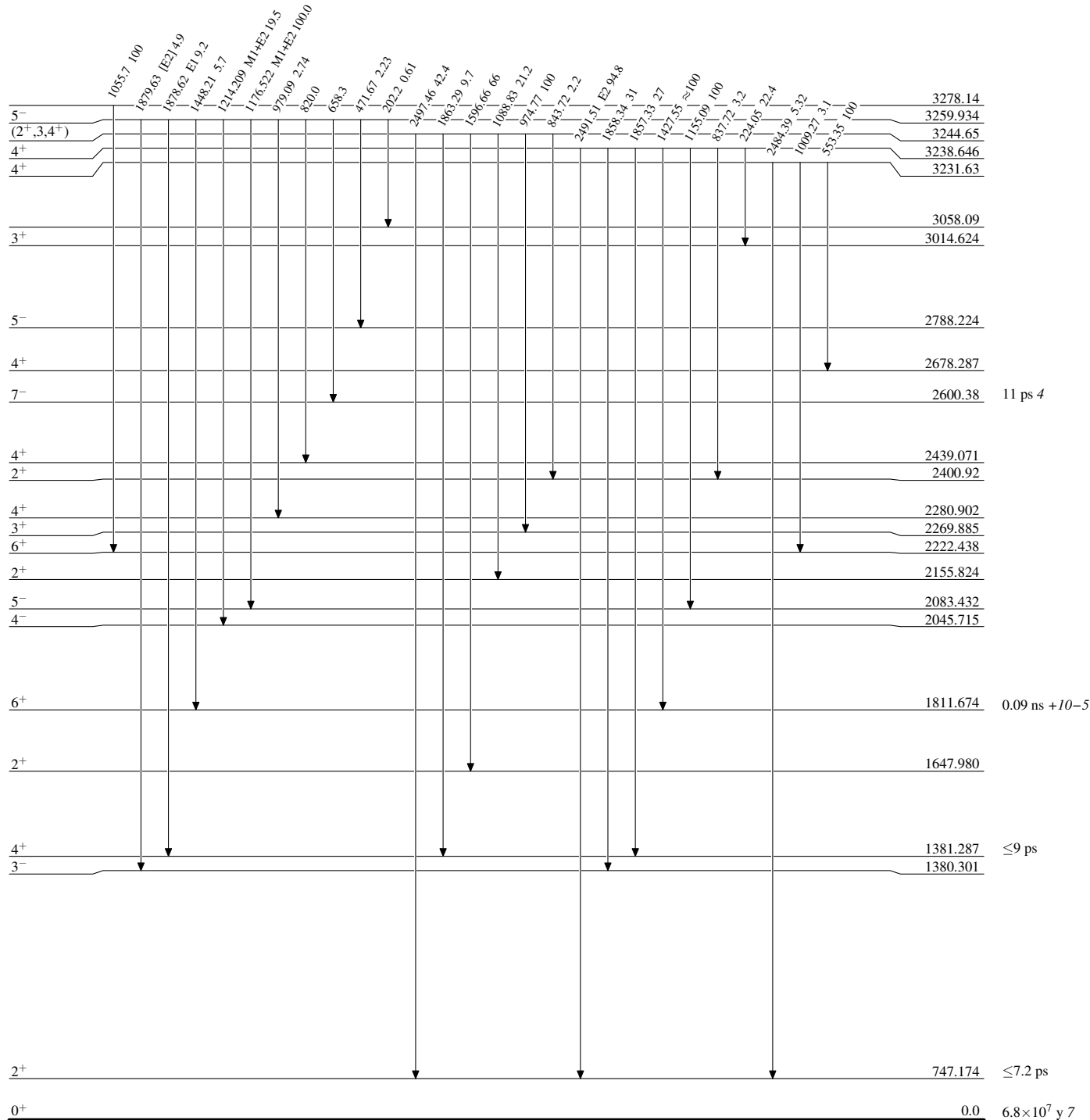
Intensities: Relative photon branching from each level  
& Multiply placed: undivided intensity given

 $^{146}_{62}\text{Sm}_{84}$

**Adopted Levels, Gammas**

**Level Scheme (continued)**

Intensities: Relative photon branching from each level  
& Multiplied: undivided intensity given



$^{146}_{62}\text{Sm}_{84}$

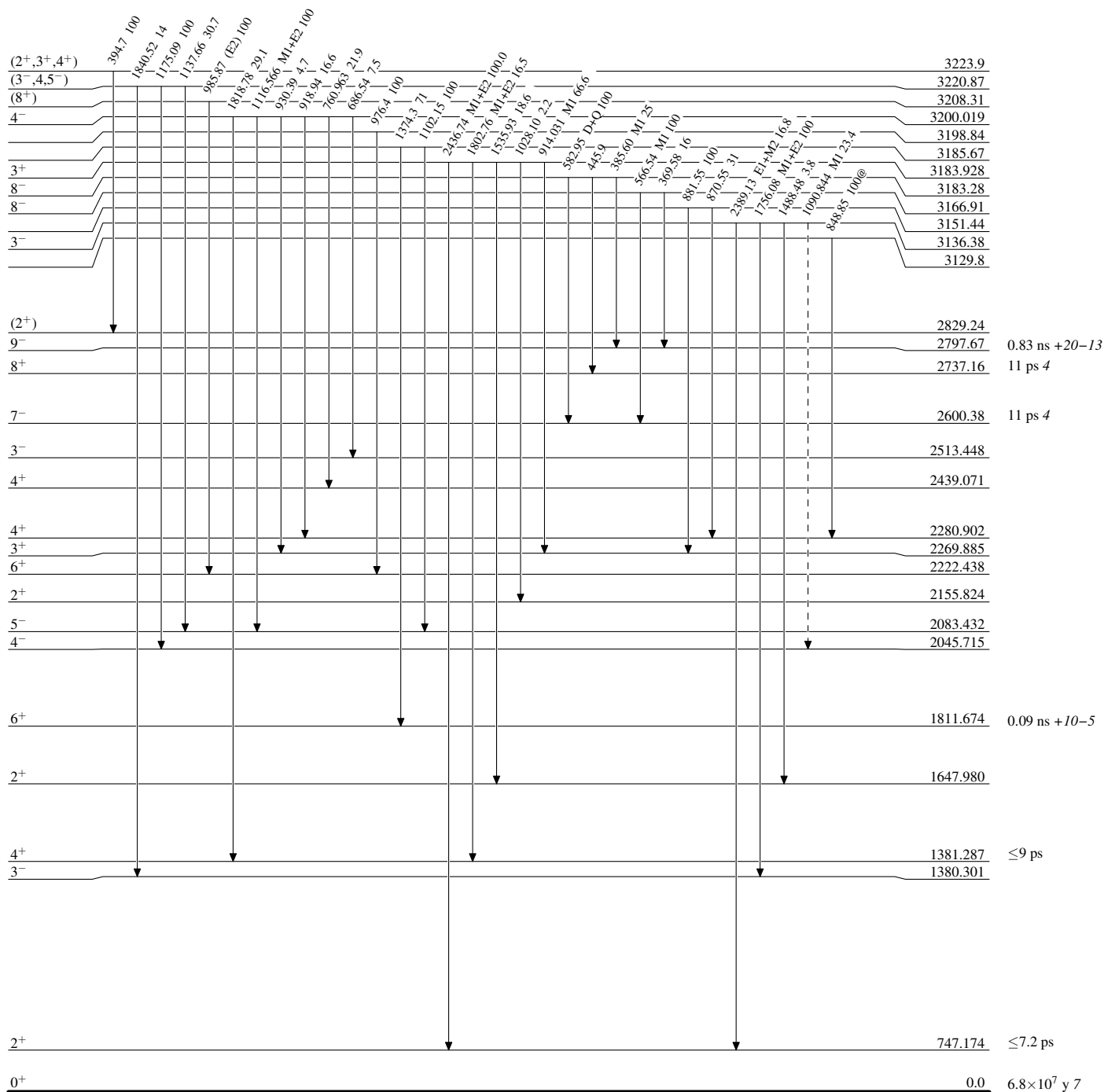
**Adopted Levels, Gammas**

Level Scheme (continued)

Legend

Intensities: Relative photon branching from each level  
 & Multiply placed: undivided intensity given  
 @ Multiply placed: intensity suitably divided

-----▶  $\gamma$  Decay (Uncertain)



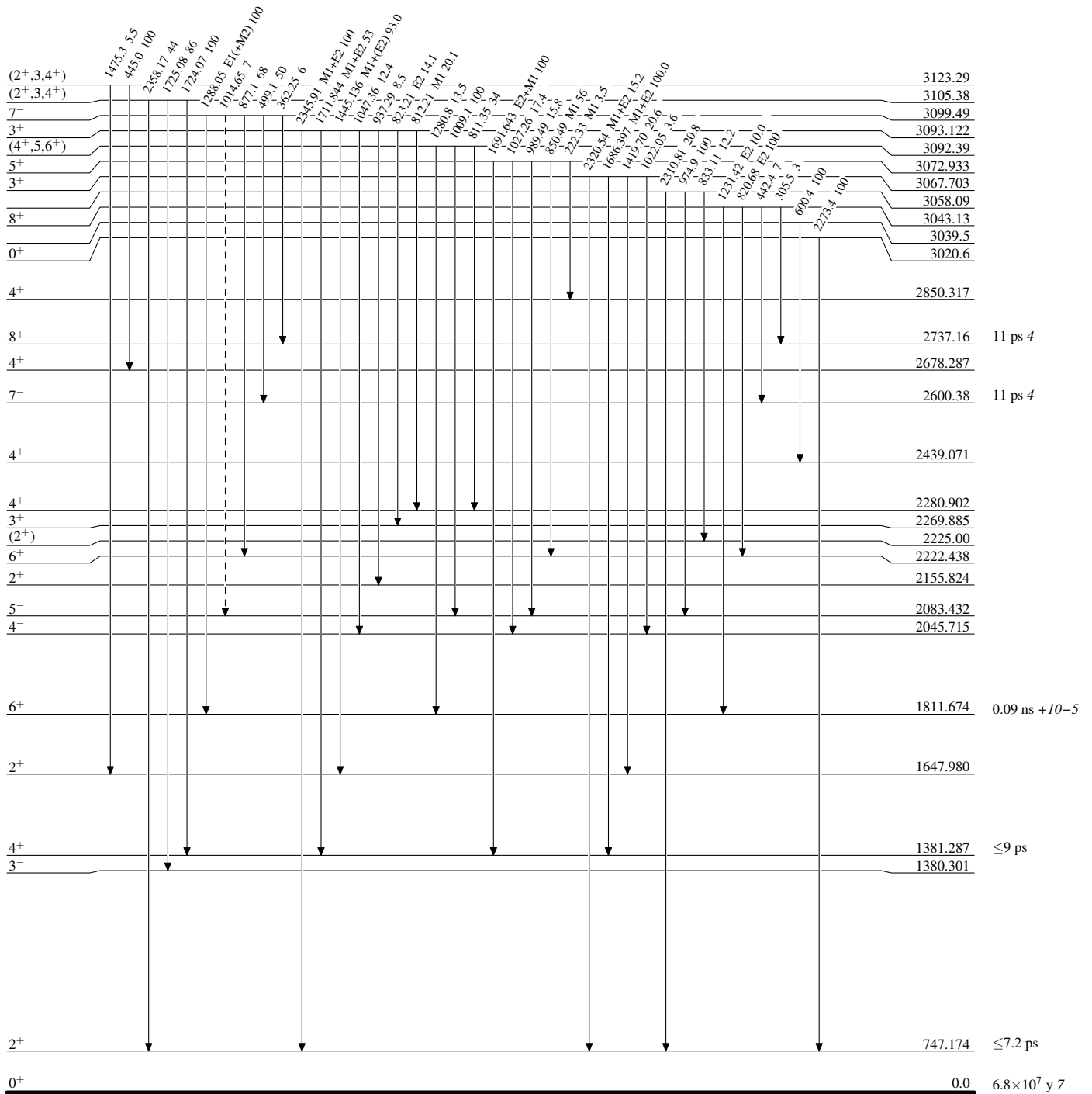
**Adopted Levels, Gammas**

**Level Scheme (continued)**

**Legend**

Intensities: Relative photon branching from each level  
 & Multiply placed: undivided intensity given  
 @ Multiply placed: intensity suitably divided

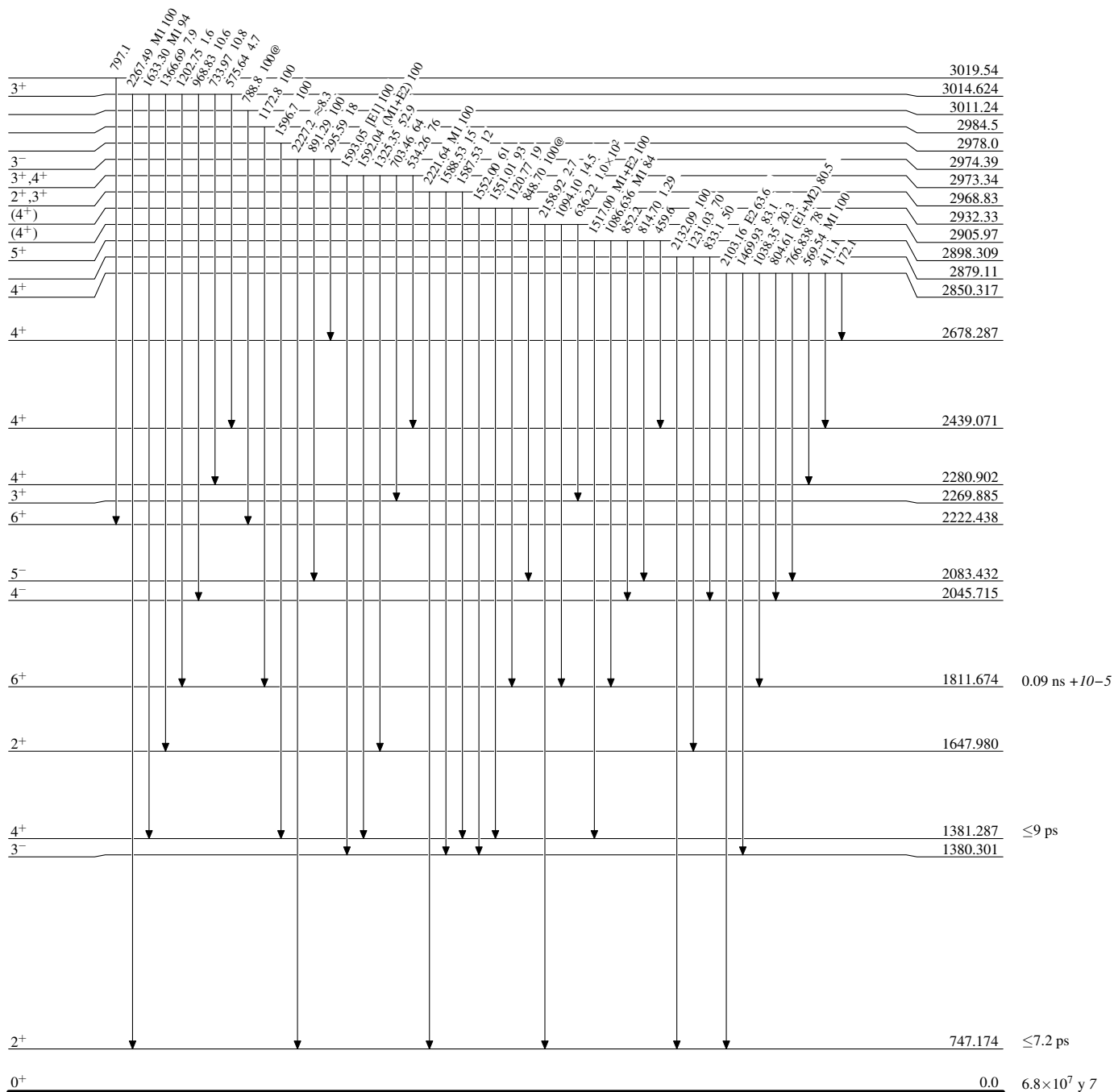
-----▶  $\gamma$  Decay (Uncertain)



**Adopted Levels, Gammas**

**Level Scheme (continued)**

Intensities: Relative photon branching from each level  
 & Multiply placed: undivided intensity given  
 @ Multiply placed: intensity suitably divided



<sup>146</sup>Sm<sub>84</sub>

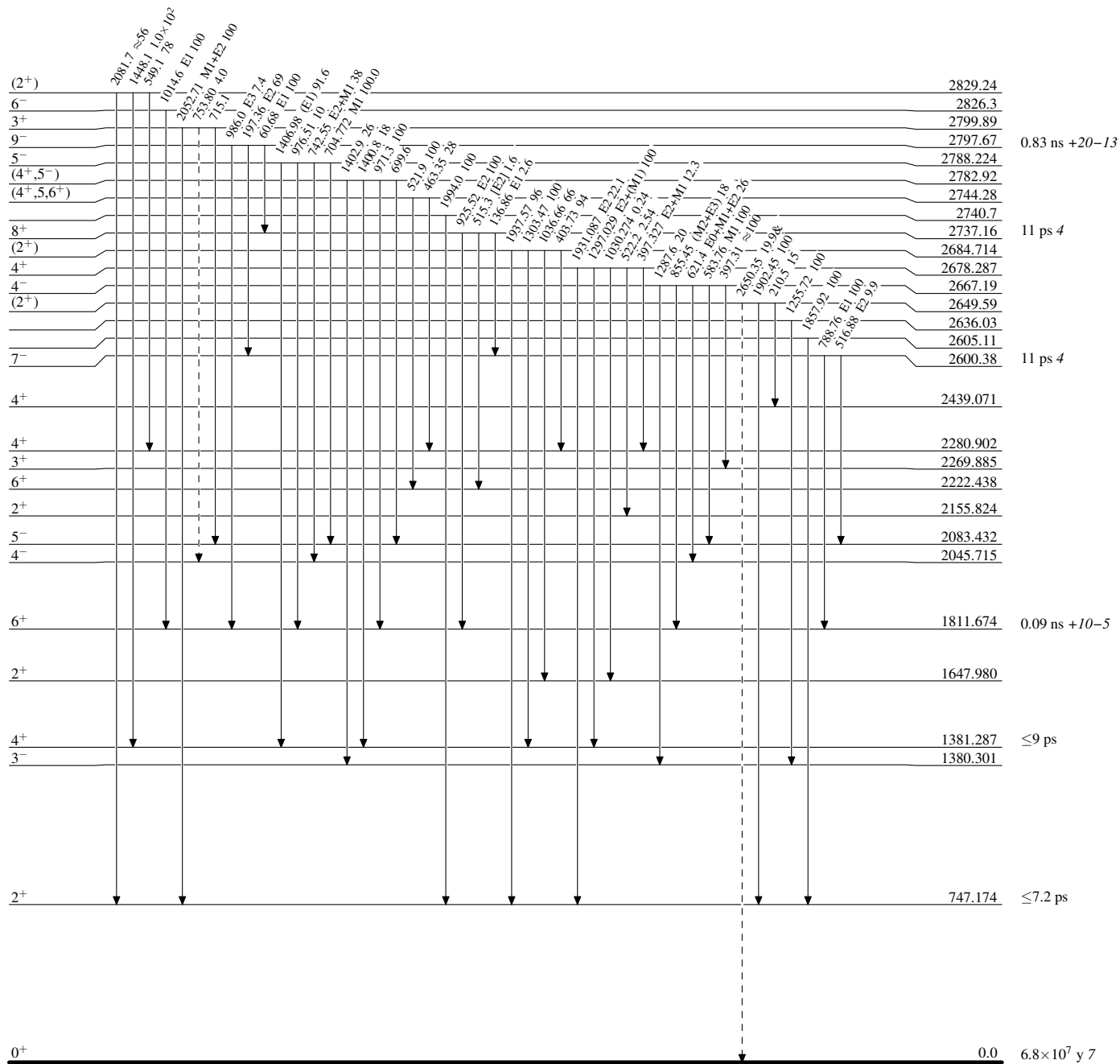
**Adopted Levels, Gammas**

**Level Scheme (continued)**

**Legend**

Intensities: Relative photon branching from each level  
 & Multiply placed: undivided intensity given  
 @ Multiply placed: intensity suitably divided

-----▶  $\gamma$  Decay (Uncertain)



$^{146}_{62}\text{Sm}_{84}$



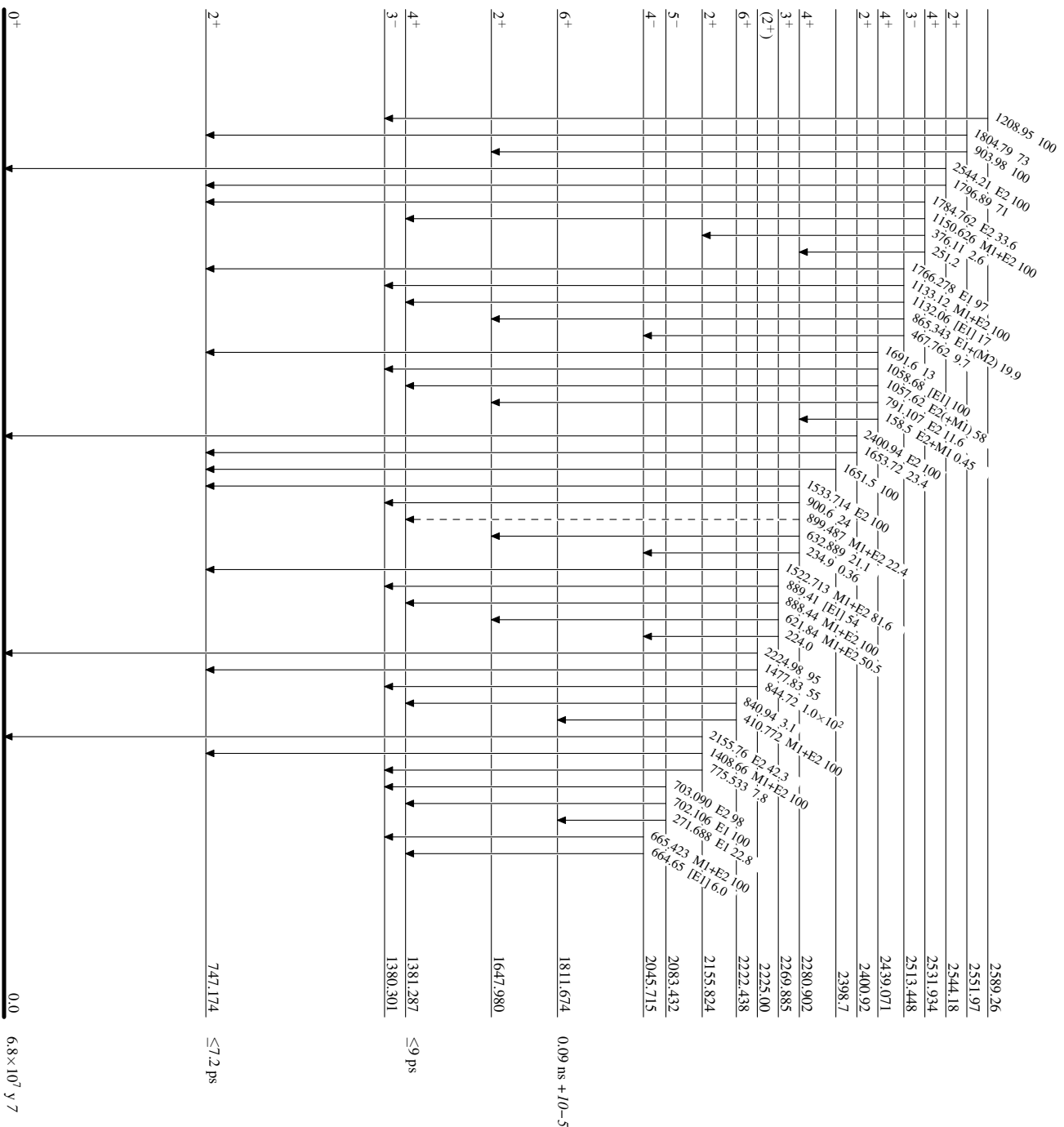
**Adopted Levels, Gammas**

**Level Scheme (continued)**

**Legend**

Intensities: Relative photon branching from each level  
 & Multiply placed: undivided intensity given  
 @ Multiply placed: intensity suitably divided

-----▶  $\gamma$  Decay (Uncertain)

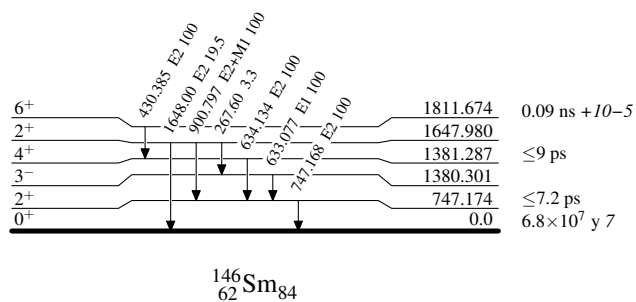


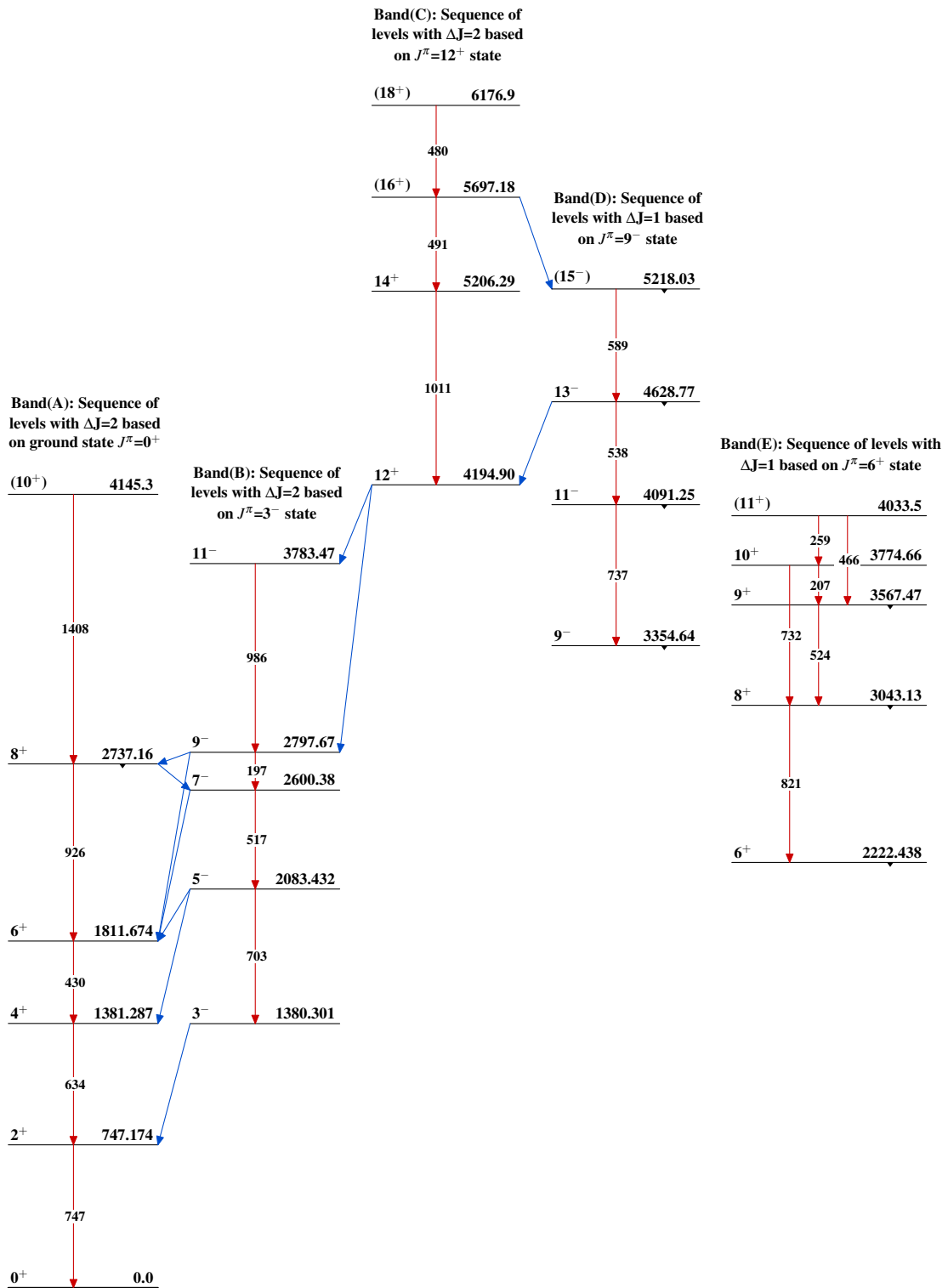
<sup>146</sup>Sm<sub>84</sub>

### Adopted Levels, Gammas

#### Level Scheme (continued)

Intensities: Relative photon branching from each level  
& Multiply placed: undivided intensity given  
@ Multiply placed: intensity suitably divided



Adopted Levels, Gammas $^{146}_{62}\text{Sm}_{84}$